

TRAKYA ÜNİVERSİTESİ
SAĞLIK BİLİMLERİ ENSTİTÜSÜ
MORFOLOJİ ANABİLİM DALI
HİSTOLOJİ VE EMBRİYOLOJİ BİLİM DALI
Tez Danışmanı: Prof. Dr. Müberra UYGUN

132565

CİSPLATİNİN OLUŞTURDUĞU BÖBREK KORTEKS
HASARLARINDA E VE C VİTAMİNİ ETKİLERİNİN
IŞIK VE ELEKTRON MİKROSKOBİK DÜZEYLERDE
İNCELENMESİ

Yeter TOPÇU

YÜKSEK LİSANS TEZİ

132565

TÜBAP: 444.

Y.C. YÜKSEKOĞRETİM KURULUŞ
DOKÜMAN TASYON MERKEZİ

Tez no: 78

EDİRNE-2003

T.C.
TRAKYA ÜNİVERSİTESİ
SAĞLIK BİLİMLERİ ENSTİTÜSÜ

Morfoloji Anabilim Dalı'nın, Histoloji ve Embriyoloji Bilim Dalı Yüksek Lisans Programı çerçevesinde hazırlanmış olan bu çalışma, Enstitü Yönetim Kurulunun 01.07.2003tarih ve 11 sayılı toplantısının4....nolu kararı ile belirlenen aşağıdaki juri üyeleri tarafından Yüksek Lisans Tezi olarak kabul edilmiştir.

Tez Savunma Tarihi: 18.07.2003

ÜYE

Prof.Dr. Müberra UYGUN
(Danışman)
-Ü. Tıp Fakültesi Histoloji-Embriyoloji Anabilim Dalı

ÜYE

Prof. Dr. Faruk ALKAN
İ.Ü. Cerrahpaşa Tıp Fak. Histoloji-Embriyoloji Anabilim Dalı

ÜYE

Yrd.Doç. Dr. Hülya Yesim UZ
T.Ü. Tıp Fakültesi Histoloji-Embriyoloji Anabilim Dalı

TEŞEKKÜR

Yüksek lisans eğitimim boyunca, bana emek veren, yetiştiren ve tez çalışmam süresince beni yönlendiren, bilgi ve tecrübelerinden yararlandığım değerli danışman hocam Sayın Prof. Dr. Müberra UYGUN'a, tez sürem boyunca beni dinleyen, yönlendiren ve yakın ilgisini hiçbir zaman esirgemeyen Yrd. Doç. Dr. Yeşim Hülya UZ ve Yrd. Doç. Dr. Gülnur KIZILAY'a, her zaman yanımda olan ve dostluğundan büyük zevk aldığım sevgili Araş. Gör Meryem AKPOLAT'a, bu çalışmanın gerçekleşmesinde büyük emeği geçen sevgili Laborant Zeliha POYRAZ'a ve desteklerinden dolayı Araş. Gör Melike SAPMAZ'a, çalışmalarımızın gerçekleştirilmesindeki katkılarından dolayı Trakya Üniversitesi Bilimsel Araştırma Projeleri'ne ve aileme teşekkürlerimi sunmayı bir borç bilirim.

İÇİNDEKİLER

	Sayfa No
1. GİRİŞ ve AMAÇ	1
2. GENEL BİLGİLER	3
2.1. Cisplatin	3
2.2. Serbest Radikaller ve Antioksidanlar	5
2.2.1. Serbest Radikaller	5
2.2.2. Doku Hasarlarında Serbest Radikallerin Rolü	6
2.2.3. E Vitamini	7
2.2.4. C Vitamini	9
3. GEREÇ ve YÖNTEMLER	11
4. BULGULAR	13
4.1. I. Grup Deneklerimize Ait Bulgular	13
4.1.1. İşık Mikroskopik Bulgular	13
4.1.2. Elektron Mikroskopik Bulgular	14
4.2. II. Grup Deneklerimize Ait Bulgular	14
4.2.1. İşık Mikroskopik Bulgular	14
4.2.2. Elektron Mikroskopik Bulgular	15
4.3. III. Grup Deneklerimize Ait Bulgular	17
4.3.1. İşık Mikroskopik Bulgular	17
4.3.2. Elektron Mikroskopik Bulgular	17
4.4. IV. Grup Deneklerimize Ait Bulgular	18
4.4.1. İşık Mikroskopik Bulgular	18
4.4.2. Elektron Mikroskopik Bulgular	18
5. TARTIŞMA	49
6. SONUÇ	60
7. ÖZET	61
8. SUMMARY	63
9. KAYNAKLAR	65
10. RESİMLEMELER LİSTESİ	72
11. ÖZGEÇMİŞ	75

Simge ve Kısaltmalar

ATP	: Adenozin Trifosfat
CAT	: Katalaz
DNA	: Deoksiribonükleik Asit
FBF	: Fibroblast Büyüme Faktörü
GSH-Px	: Glutatyon Peroksidaz
H₂O₂	: Hidrojen Peroksit
IL-1	: Interleukin-1
İm	: Intramusküler
İv	: İtravenöz
LOO[•]	: Lipid Peroksil Radikalı
LDL	: Düşük Dansiteli Lipoprotein
O₂[•]	: Süperoksit Radikalı
OH[•]	: Hidroksil Radikalı
PKBF	: Platelet Kökenli Büyüme Faktörü
ROO[•]	: Peroksil Radikalı
RNA	: Ribonükleik Asit
SOD	: Süperoksit Dismutaz
TNF	: Tümör Nekrozis Faktör
α-tokoferol-O[•]	: Tokoferoksil Radikalı

1. GİRİŞ ve AMAÇ

Kanser veya tümör; normal hücrelerin kontrollsüz şekilde çoğalması, invazif nitelik kazanması ve metastaz yapması ile kendini gösteren ölümcül bir hastalıktır.¹

Bakteri ve protozoon infeksiyonlarında kemoterapinin başarılı sonuçlar vermesi, malign neoplazmaların da kimyasal etkenler tarafından iyileştirilebileceği olasılığını düşündürmüştür. Bu fikirden yola çıkarak antineoplastik ilaçlar üzerinde bir çok çalışma yapılmış, bu türde çok sayıda ilaç tedaviye sokulmuştur. Antineoplastik kemoterapi; tümör hücrelerinin büyümeye ve çoğalmasını durduran veya onları tamamen yok eden tedavi olmanın yanı sıra, normal hücre ile tümör hücresi arasında yapı bakımından fazla fark olmaması nedeniyle normal hücrelere de zarar verebilen bir tedavidir.¹

Antineoplastik ilaçların kemoterapide kullanılması sonucu, normal hücrelerin harabiyetine bağlı olarak, hızlı bir biçimde çoğalmakta olan gastrointestinal, hematopoietik sistem hücreleri ve testiste, oldukça önemli toksik etkilerin oluştugu bilinmektedir. Bunun yanı sıra, bazı antineoplastik ilaçlar, böbrek ve sinir dokusu gibi hücre proliferasyonunun önemsiz olduğu organları da etkileyebilir.¹⁻⁶

Cisplatin, büyük ölçüde antitümöral aktivite gösteren platin koordinasyon komplekslerinden önemli bir sınıfı oluşturur.⁷⁻⁹ Özellikle testis ve over kanserleri olmak üzere, mesane, prostat, serviks, özofagus, akciğer, baş-boyun kanserleri, osteojenik sarkom ve nöroblastoma gibi solid tümör tedavilerinde sıklıkla kullanılır.^{4,7,10-13} Ancak, akut tübüler nekrozla kendini gösteren nefropati, şiddetli bulantı-kusma, iştahsızlık, diyare gibi gastrointestinal bozukluklar, kemik iliği depresyonu, ototoksitese ve periferik nöropati gibi şiddetli yan etkiler meydana getirir. Bunlardan özellikle nefrotoksitese, klinikte cisplatin kullanımını sınırlayan en önemli faktörlerden biridir.^{2,3,14-18} Tedavi sırasında ortaya çıkan ve ilaçın devamıyla giderek ağırlaşan böbrek yetersizliği önemli bir sorun oluşturur.^{19,20}

Yapılan çalışmalarda, cisplatin nefrotoksitesinin patofizyolojisinde oksidatif stresin önemli rol oynadığı görülmüştür. Cisplatinden kaynaklanan nefrotoksitese, böbrek dokusunda ortaya çıkan lipid peroksidasyon artışıyla çok yakından ilişkilidir. Cisplatin; gerek süperoksid iyonları, gerekse hidroksil radikalleri gibi aktif oksijen türlerini üretebilir ve normal dokuda aktif antioksidan enzimlerini inhibe edebilir.^{3,4,21-27} Normal dokular için koruyucu olmak

şartıyla, antitümör etkinliği olmaksızın, ilaçların meydana getirdiği hasarı azaltmak amacıyla çok sayıda koruyucu ajan, antitümör ilaçlarla birlikte kullanılmaktadır. Cisplatinin meydana getirdiği nefrotoksositeye karşı korunmada antioksidanlar sıkça kullanılmakta ve oldukça başarılı sonuçlar elde edilmektedir.^{3,4,28,29}

Kronik cisplatin tedavisiyle oluşturulan nefrotoksitede, iyi birer antioksidan olan E ve C vitaminlerinin etkilerini görmek ve kıyaslamak amacıyla çalışmamızı hazırladık.



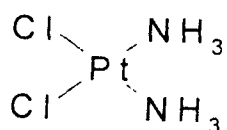
2. GENEL BİLGİLER

2.1. Cisplatin

Cisplatinin ilk ortaya çıkıştı, Rosenberg ve arkadaşlarının yaptığı bir çalışma ile gerçekleşmiştir; sıvı ortamda platin elektrodlar aracılığı ile elektriksel alan oluşturup, bunun *Escherichia coli*'nin çoğalması üzerindeki etkisini incelerken cisplatinin başka etkisinin de olduğunu görmüşlerdir. 1965 yılında yapılan bu çalışma esnasında, elektroddan sıvuya geçen platin türevlerinin antibakteriyel ve antineoplastik etki yaptıkları da fark edilmiş ve cisplatin türevlerinin bu amaçla da kullanılabileceği anlaşılmıştır.^{10,30}

Cisplatin, ortaya çıktığı 1970'li yıllarda itibaren, klinikte en yaygın şekilde kullanılan antineoplastik ilaçlardan biri olmuştur.^{2,3,4,16} Oldukça geniş bir spektruma sahip bu ilaç; non-seminamatoz testis tümörleri, ilerlemiş over kanserleri, mesane, prostat, serviks, özofagus, baş ve boyun kanserleri, osteojenik sarkom ve nöroblastoma gibi solid tümörlerin tedavisinde kullanılır.^{1,3,4,7,9,14,29}

Cisplatin (*cis*-diamminedichloroplatinum (II), *cis*-platinum (II) veya *cis*-DDP), iki değerlikli bir merkez atomuna bağlı iki amonyum ve iki klor bağı içerir (Şekil 1). Bileşik, *cis* ve *trans* olmak üzere iki izomere sahiptir. Bunlardan sadece *cis* formu sitotoksik özellik gösterir.³¹⁻³³



Şekil 1. Cisplatinin kimyasal yapısı.

Cisplatin; malign hücre; ister istirahat halinde, ister bölünme halinde olsun, bu hücre üzerine her zaman etkilidir.¹ Cisplatin reaktivitesi, etrafındaki klorid konsantrasyonundan etkilenir. Kanda ve ekstrasellüler sıvılarda klorid konsantrasyonu yaklaşık 100 mM'dır ve cisplatin bu ortamda az reaktiftir. Hücre içinde klorid konsantrasyonunun aniden birkaç milimolar düşmesi, cisplatin reaktivitesini artırır.³⁰ Hücreye difüzyon yoluyla giren cisplatinin antitümöral ve hatta nefrotoksik etkisi, hücre içerisinde, reaktif monoaquo-diammine-platin

veya diaquo-diammine-platin türlerine hidrolize olmasından dolayı olabilir.³⁴ Cisplatinin klor atomları, ilacın nükleik asit ve proteinler ile reaksiyona giren aktif şekillerini oluşturmak için su aracılığı ile yer değiştirir; sulu ortamda çifteşmemiş elektron içeren oksijen, sülfür ve nitrojen atomları gibi nükleofilik gruplar, klor iyonlarının yerine geçmek üzere, platine bağlanır. Bağlanan gruplar deoksiribonükleik asit (DNA) veya ribonükleik asit (RNA)'in pürin bazında ve bir çok amino asit yan zincirlerinde yer alır.³⁰ Cisplatin DNA ile etkileşerek, zincir içi ve zincirler arası çapraz bağlar oluşturur. Guanin bazının 7. azot atomu (N⁷) oldukça reaktiftir. Cisplatinin, en fazla aynı DNA zincirindeki komşu guaninler arasında çapraz bağ [cis-platinum diammine-d(GpG)] oluşturduğu görülür, guanin-adenin çapraz bağları [cis-platinum diammine-d(ApG)] ikinci sıklıkta oluşur. Zincirler arası çapraz bağ oluşumuna ise daha seyrek rastlanır.^{10,35}

Bu bağların ortaya çıkması; DNA'nın transkripsiyon ve replikasyonunu inhibe eder. Ayrıca bu bağlar DNA çift zincirinin kırılarak, açılmasına neden olur. Böylece DNA molekülü, mobilitesi yüksek grupları ve diğer proteinleri kendisine çeker. Cisplatinin modifiye ettiği DNA, yeterince yenilemediğinden, ortaya çıkan DNA hasarı apoptozisi başlatır. Bu hasar onarılamayacak boyutlarda ise, hücre tarafından tolere edilemez, hücrenin ölümüne neden olur.^{10,30,35}

Cisplatin, mide-bağırsak kanalından absorbe olmadığından, sadece intravenöz (iv) yolla uygulanır. Tek başına, iv infüzyon veya yavaş iv enjeksiyon şeklinde; günde 100 mg/m², kombinasyon halinde ise genellikle 20 mg/m² dozunda uygulanır.^{1,9}

Cisplatinin eliminasyonu üç aşamada gerçekleşir; serbest ilacın atılışı ilk iki fazda olup, renal fonksiyona bağlıdır; glomerüler filtrasyon ve tübüller sekresyondan oluşur. Son faz ise, uygulamadan 2 saat sonra, ilacın %90'dan fazlasının plazma proteinlerine bağlılığı ve proteine bağlı ilacın eliminasyonun gerçekleştiği fazdır. Böbrek, karaciğer, bağırsak ve testis gibi organlara yüksek oranda geçmesine karşın, kan-beyin bariyerinden geçiği çok azdır. İlacın yarılanma ömrü 60 saat olup, büyük bir kısmı böbreklerden, bir kısmı da karaciğer ve bağırsaklardan elimine olur.^{1,9}

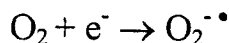
2.2. Serbest Radikaller ve Antioksidanlar

2.2.1. Serbest Radikaller

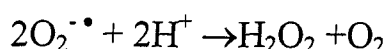
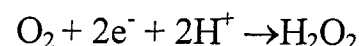
Oksijen, aerobik hücrelerde, enerji üretimi için oksidatif fosforilasyon işleminde zorunlu olarak kullanılır.³⁶ Ancak bu madde bazı kimyasal formlarda son derece toksiktir.³⁷ Vücutta, oksijen moleküllerinin büyük bir kısmı oksidatif fosforilasyon sırasında, mitokondride sitokrom oksidaz enzimleri ile 4 elektron alarak, suya dönüştürülerek ve adenozin trifosfat (ATP) eldesiyle enerji üretilmektedir. Ancak bu sıklustan ayrılan %1-5 oksijen molekülü, suya indirgenirken, bazı toksik maddeler oluşmaktadır. Oluşan bu maddeler “reaktif oksijen serbest radikalleri” olarak bilinmektedir. Serbest radikallere; özellikle, hücrede patolojik olarak ortaya çıkan proses sonucu, mitokondri içerisinde rastlanmaktadır, dış yörüngeinde bir veya daha fazla çifteleşmemiş elektron içeren, nötr veya iyonize molekül yada atomlardır.^{36,38-41}

Organizmada yer alan en önemli reaktif oksijen serbest radikalleri şunlardır;

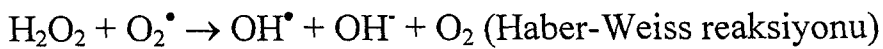
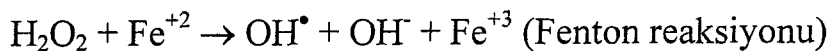
Süperoksit radikalı (O_2^-): Oksijenin bir elektron alarak indirgenmesinden ortaya çıkar.⁴² Organizmada enzimatik veya enzimatik olmayan reaksiyonlarla en sık ortaya çıkan oksijen radikalidir.⁴³ Hem indirgeyici hem de oksitleyici özelliğe sahip bir ajandır.^{44,45} Süperoksit radikalı, kendisi çok toksik etkiye sahip olmamakla birlikte, etkisini daha güçlü oksijen metabolitlerini açığa çıkararak gösterir.⁴³ Önemi; hem hidrojen peroksitin kaynağı olması, hem de geçiş metal iyonlarını indirgemesinden dolayıdır.⁴² Lipofilik olduğundan, uzak bölgelere difüzyonla yayılabilmektedir.⁴⁰



Hidrojen peroksit (H_2O_2): Biyolojik sistemlerde, çoğunlukla süperoksit radikalinden ortaya çıkar. Ayrıca oksijenin iki elektron birden almasıyla da oluşur.^{42,45} Süperoksit gibi, oksitleyici ve redükleyici etki gösterebilir.^{42,43,45}



Toksisitesinin düşük olmasına rağmen, hücre membranlarını kolaylıkla geçebilme özelliği bu etkisini artırır. Serbest radikal olmamasına rağmen, yüksek konsantrasyonlarda, güçlü oksijen radikallerinin ortayamasına yol açtığından toksik etkilidir. Hidrojen peroksit, süperoksit radikalı (Haber-Weiss reaksiyonu) veya demirle (Fenton reaksiyonu) reaksiyona girerek hidroksil radikalının oluşumuna neden olur.^{42,43,45}



Hidrosil radikali (OH^\bullet): Canlı dokuda ortaya çıkan en reaktif ve hasarlayıcı radikal türüdür.^{42,46} Yüksek aktivitesinden dolayı, meydana geldiği yerde difüzyona gerek kalmadan, reaksiyona girerek tüm hücresel elemanlara ve membran lipidlerine etki ederek büyük ölçüde hasar verebilir.^{36,40,42,43,46,47}

2.2.2. Doku Hasarlarında Serbest Radikallerin Rolü

Normal koşullarda, aerobik metabolizmanın ürettiği, reaktif oksijen türleri sürekli olarak inaktive olur. Bu işi, organizmada yer alan antioksidan savunma sistemleri gerçekleştirdiğinden patolojik bir durum görülmez. Bu denge sadece prooksidan ve antioksidanların aleyhine bozulduğunda potansiyel bir hasar meydana gelir ki buna “oksidatif stres” adı verilir. Hasar; DNA, lipid, protein ve karbonhidrat gibi tüm biyolojik moleküllerde ortaya çıkabilir. Bu nedenle oksidatif stres, karbonhidrat ve protein hasarında; oksidasyon ve fregmentasyon oluşturduğu gibi, lipid peroksidasyonu yoluyla, membran hasarı veya hücrede karsinogenez, mutagenez gibi bir prosese yol açabilir.⁴⁷

Bu radikal saldırısından, başta lipidler olmak üzere tüm biyolojik yapılar zarar görebilir. Serbest radikal reaksiyonları için en kritik bölgeyi plazma membranı oluşturur. Ekstrasellüler bölgede yer alan serbest radikaller, hücre kompartımanları ile reaksiyona girebilmek için plazma membranını geçmek zorundadır. Bu nedenle toksik reaksiyonlarını membranda başlatırlar.⁴³ Lipid yönünden zengin hücre zarları, radikal saldırı sonucu lipid peroksidasyonuna uğrar. Bu olayda hücre membranlarında yer alan yüksek karbonlu doymamış yağ asitlerinin oluşturduğu fosfolipidler, serbest oksijen radikalleri ile oksitlenip peroksit türevlerine dönüşürler.^{48,49} Bu olay hücre zarına direkt olarak etki ettiği gibi, ortaya çıkardığı reaktif aldehitler yoluyla da hücresel yapılara indirekt olarak zarar verebilir.⁴² Serbest radikallerin başlattığı lipid peroksidasyonu, transmembraner iyon gradientini bozduğu gibi, salgı fonksiyonlarının kaybına ve metabolik olayların inhibisyonuna da yol açabilir.⁴³

Serbest radikallerin ortadan kalkışıyla bu olaylar zinciri de durdurulabilir. Bunun için kullanılan bileşiklere “serbest radikal temizleyiciler” adı verilir.⁴³ Bu maddelerin ise en önemli özelliği, zar yapısında bulunan lipidleri peroksidasyona karşı korumaktır. Bu nedenle, başlangıçta antioksidanlar; lipid peroksidasyonunu engelleyen moleküller olarak tanımlanmışsa da, günümüzde antioksidanların; sadece lipidleri değil, protein, nükleik asid ve

karbonhidrat gibi, diğer hedef molekülleri de koruduğu kanıtlanmıştır.⁵⁰ Organizmada bulunan antioksidanların en önemli grubunu hücresel enzimler oluşturur ki bunlar;

Süperoksit dismutaz (SOD): Süperoksit radikalini, hidrojen peroksit ve oksijene dönüştürür. Hem sitoplazma hem de mitokondride bulunur.⁵¹

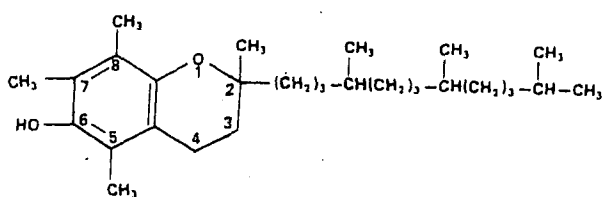
Glutatyon peroksidaz (GSH-Px): Hidrojen peroksit ve lipid peroksidlerin parçalanmasını katalize ederek, membran lipidlerini peroksit oksidasyonuna karşı korur.⁵¹

Katalaz (CAT): Kan, kemik iliği, mukoz membranlar, böbrek ve karaciğerde bulunur. Hidrojen peroksinin parçalanmasını sağlar.⁵¹

Organizmadaki diğer antioksidanlar ise; albumin, transferrin, haptoglobin ve metallothionein gibi metal iyon şelatörleridir. β-karoten, E ve C vitaminleri ise non-enzimatik ve non-şelatik antioksidanlardan bazlarıdır.⁴¹

2.2.3. E Vitamini

Evans ve Bishop tarafından, 1936 yılında buğday tanesi yağından izole edilen E vitamini⁵², plazma ve hücresel membranlarda yer alan, suda erimeyip, yalda eriyen bir vitamindir. E vitamini aktivesi gösteren bileşikler, tokoferoller olarak bilinirler. Kimyasal formülü aşağıda verilmiş olan tokoferoller; üçü asimetrik, 16 karbonlu bir isoprenoid lateral zincir içeren, 6-hidroksi kroman (tokol) türevleridir (Şekil 2). Ayrıca, besinler içinde yer alan tokotrienoller de düşük derecede E vitamini etkinliği gösterirler.^{40,48,53-55}



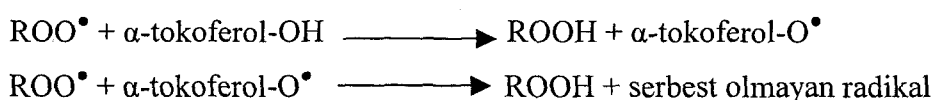
Şekil 2. E vitamininin kimyasal yapısı.

Doğal olarak bulunan 8 tokoferol vardır. Bunlar; alfa, beta, gamma, eta ve zeta şeklinde adlandırılırlar.^{40,48,54,55} Besinler içindeki E vitamini etkinliğinin %80'ini α-tokoferolden, %20 ise diğer tokoferoller ve tokotrienollerden kaynaklanır.⁴⁸ Antioksidan aktivitesi en yüksek olan, α-tokoferol (5, 7, 8- trimetil tokol)'dır.^{40,55,56} Yapısındaki fenolik hidroksil gruplu aromatik halka, aktif kısmını oluşturur ve molekülün antioksidan özelliği bu gruptan kaynaklanır.⁵⁶ Bu maddeye, mısır yağı, soya yağı, pamuk yağı ve diğer bitkisel

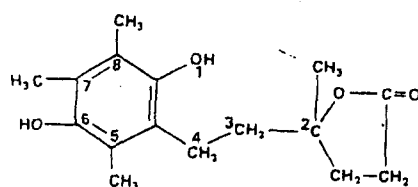
yağlarda ve bunlardan yapılan margarinlerde, et, hayvansal yağı, karaciğer, balık, tavuk, buğday germi, sebze yaprakları, yumurta sarısı ve sütte rastlanır.^{48,55}

Diyetle yağda çözülmüş olarak alınan E vitamini, yağ sindirimini sırasında açığa çıkar ve enterositler tarafından intestinal kanaldan absorbe edilir. Absorbe edilen E vitamini, şilomikron adı verilen damlacıklar halinde lenfe, oradan da venöz kana geçer. Şilomikronlarla karaciğere taşınır, özellikle de düşük dansiteli lipoproteinler (LDL) ile perifer dokulara dağılır. Vücutta karaciğerden ziyade yağ dokusunda depolanır. Depolanan miktarı azdır. Dokularda, mitokondri ve mikrozomlar gibi membrandan zengin hücre fraksiyonlarında, yağ hücreleri, bazı endokrin bez hücreleri ve trombositlerde yüksek konsantrasyonda E vitaminine rastlanır.^{48,52,54,55}

Sellüler ve subsellüler membranlardaki fosfolipidlerin, α -tokoferole karşı afititeleri yüksektir. Bu membranlarda E vitamini, süperoksit ve hidroksil radikalini, singlet oksijeni, lipid peroksidlerini ve diğer radikalleri daha az aktif formlara dönüştürerek, membranları lipid peroksidasyonuna karşı koruyan güçlü bir antioksidandır.^{38-40,50,54,56} Bu antioksidan etkisiyle hücre membranındaki değişiklikleri önler.⁵⁵ Ayrıca, molekül, lipid peroksit radikalini (ROO^\bullet) ortadan kaldırarak da lipid peroksidasyon reaksiyonlarını sona erdirdiğinden, zincir kırcı antioksiyan olarak bilinir.⁴² E vitamini, peroksitler üzerindeki nötralize edici etkisini, bir fenolik hidrojen atomunu peroksit radikaline transfer etmek suretiyle yapar.^{48,54} Serbest radikali ortadan kaldırırken; kendisi, normal şartlarda tek başına lipid peroksidasyonunu başlatamayacak kadar inaktif bir form olan, tokoferoksil radikaline (α -tokoferol-O $^\bullet$) dönüşür.^{42,54}



Oluşan tokoferoksil radikali, glutatyon ve C vitamini ile tekrar aktif hale getirilir veya yeni bir peroksit radikali ile reaksiyona girerek stabil quinone formuna (serbest olmayan radikal) okside olur (Şekil 3).^{39,40,54}

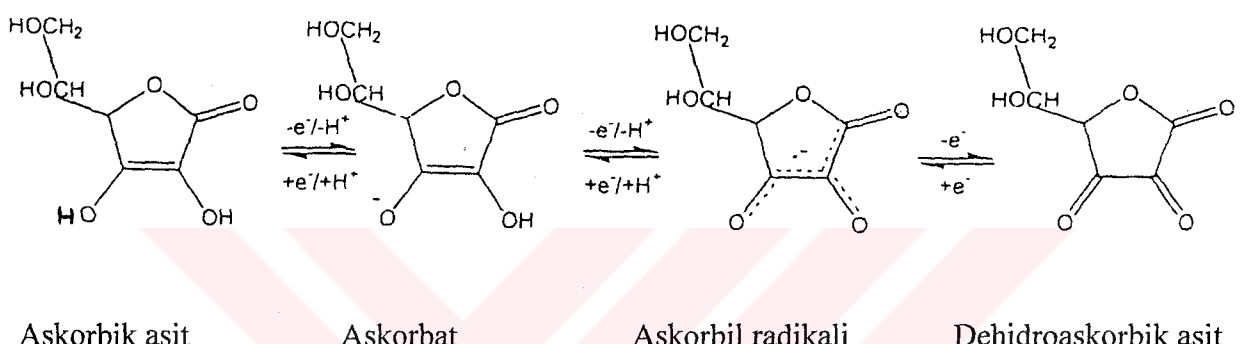


Şekil 3. E vitamininin serbest olmayan radikalının yapısı.

Bu oksidasyon ürünü, karaciğerde glukuronik asid ile konjugasyona uğrayarak, glukuronidasyon yoluyla metabolize olur ve büyük oranda safra ile atılır.⁵⁴

2.2.4. C Vitamini (Askorbik Asit)

Yapısı; glukoza ve diğer altı karbonlu monosakkardlere benzeyen bir ketolakton olan askorbik asit, suda çözünen vitaminlerdendir. Kimyasal yapısı aşağıda gösterildiği gibidir (Şekil 4).^{40,57-59}



Ascorbic asit

Ascorbat

Ascorbil radikalı

Dehidroaskorbik asit

Şekil 4. Askorbik asit, askorbat, askorbil radikalı ve dehidroaskorbik asidin kimyasal yapısı.

Kuşlar, reptiller ve kurbağalar askorbik asidi, karaciğer veya böbreklerde, glukozdan başlayarak L-gulonik asit üzerinden sentez ederler. Ancak, insan ve kobaylarda L-gulonik asidi askorbik aside dönüştüren enzim bulunmaz. Bu nedenle vücutta sentez edilemeyen vitaminin diyetle alınması gereklidir.

C vitamini; aynı fizyolojik etkinliğe sahip, L-askorbik asit ve bunun okside şekli olan L-dehidroaskorbik asit şeklinde bulunur. Bu molekülün her ikisi de, özellikle yeşil renkli taze sebzelerde ve turunçgillerde bol miktarda bulunur. Diyetteki askorbik asidin hemen hemen tamamı ince bağırsaklardan kolayca emilir. Vücutta C vitamini depoları hızlı şekilde boşalmaz. Eksikliğinde ortaya çıkan skorbütün gelişimi için 3-4 ay gereklidir. Fazla miktarda alınan C vitamini, hızla idrarla atılır.^{40,57,58,60}

Askorbik asit, dokularda kolayca dehidroaskorbik asite oksitlenir. Bu dönüşüm molekül başına iki hidrojen atomunun serbest kalmasına neden olur. Bu özelliği ile askorbik asit yüksek indirgeyici gücü sahiptir. Organizmada hidrosilosasyon reaksiyonlarında indirgeyici ajan olarak görev yapar. Kollajen sentezinde, prolin ön maddesinden hidroksiprolin sentezi için gereklidir. Askorbik asit aynı zamanda güçlü bir antioksidandır. Organizmanın sitosol, plazma ve ekstrasellüler sıvı gibi suda eriyebilir bölümlerinde

süperoksit anyonunu, hidrojen peroksiti, hidroksil ve peroksil radikalini, reaktif nitrojen türlerini ve singlet oksijeni güçlü bir şekilde bağlayarak, inaktive eder, lipid peroksidasyonunu başlatıcı radikalleri temizler ve protein karbonil oluşumunu azaltır, bu suretle DNA, lipidler ve proteinler gibi önemli biyolojik molekülleri oksidan hasara karşı korur. Eksikliğinde kollajen oluşumu, dolayısıyla bazal membranların yapısal bütünlüğü bozulur.^{40,46,57,60,61}

Ayrıca, *in vitro* olarak tokoferoksil radikalini, α -tokoferol'a rejener ettiği için sekonder bir antioksidandır.^{38,42} Askorbik asit, redoks koşullarına bağlı olarak radikal de oluşturabilmektedir.³⁸ Ancak, askorbatın bir elektron oksidasyonuyla oluşan, askorbat radikali (semidehidroaskorbat), adrenal bez, böbrek ve karaciğerde bulunan, aktivitesi NADH'a bağlı semidehidroaskorbat redüktaz ile askorbata indirgenerek ortadan kaldırılır.^{61, 62}

C vitamini, megadoz (1-4g/gün) seviyelerinde bile göreceli olarak güvenli olsada, toksik etkiden tamamen uzak değildir. Nitekim, üriner sistem taş hastalığına neden olabilen oksalat, bir C vitamini metabolitidir.⁴⁰ Diğer antioksidanlar gibi C vitaminin de kansere karşı koruyucu etkisi gösterilmiştir.^{63,64}

3. GEREÇ VE YÖNTEMLER

Çalışmamızda; İstanbul Üniversitesi Cerrahpaşa Tıp Fakültesi Deney Hayvanları Üretim ve Araştırma Laboratuvarları'nda üretilmiş, 3 aylık, ağırlıkları 200-300 gr arasında değişen 24 adet Wistar albino erkek rat kullandık. Aynı biyolojik ve fizyolojik koşullar altında tutulan tüm deneklerimizden, vücut ağırlıkları birbirine yakın olanlar aynı grupta olacak şekilde; her biri 6 rat içeren, 1 kontrol ve 3 deney grubu oluşturduk. Deney süresi boyunca, tüm deneklerimizi, optimum koşullar (İş; 21°C, bağıl nem oranı; %40-60, ışık periyodu 12/12 saat aydınlichkeit/karanlık, uygun havalandırma sistemi) altında, günlük içme suyu ve %21 ham protein içeren pelet yemlerle (Purina) besleyerek baktık.

Gruplarınıza aşağıdaki şekilde oluşturduk;

- I. grup: Kontrol grubu
- II. grup: Ayda 1 kez olmak üzere 3 ay süreyle, 24 numara kateter yardımıyla iv yoldan 5mg/kg cisplatin DBL (Orna) verdığımız grup.
- III. grup: Ayda 1 kez olmak üzere 3 ay süreyle 5 mg/kg, iv cisplatin ile birlikte, ilk cisplatin enjeksiyonunu takiben her gün, intramusküler (im), 5 mg/kg, E vitamini (Evigen- AKSU) verdığımız grup.
- IV. grup: Ayda 1 kez olmak üzere 3 ay süreyle 5 mg/kg, iv cisplatin ile birlikte ilk cisplatin enjeksiyonunu takiben her gün, im, 8 mg/kg, C vitamini (Redoxon- ROCHE) verdığımız grup.

Kontrol grubu dışında, tüm deneklerimize cisplatin veriminden 24 saat önce 6 saat arayla 2 kez, kemoterapiye bağlı olarak ortaya çıkabilecek olan çeşitli alerjik reaksiyonlara karşı, im, 0.13 mg/kg deksametazon (Dekort-DEVA) verdik.

3 ay boyunca her gün aynı saatte, III. deney grubundaki ratlara, 5 mg/kg E vitaminini, saf zeytin yağındı dilüe ederek (0,16 ml/kg), im yoldan, IV. gruptakilere ise, 8 mg/kg C vitaminini, distile su ile dilüe ederek (0,32 ml/kg), im yoldan verdik.

Deney süresinin bitiminin ardından, tüm deneklerden eter anestezisi altında, böbrek kortekslerinin aynı bölgesinden olacak şekilde, ışık ve elektron mikroskopik çalışmalarımız için biyopsi materyalleri alarak işlemledirdik.

Işık mikroskopik incelemelerimizde kullanacağımız böbrek korteks biyopsi materyallerini, Bouin fiksatöründe fikse ettikten sonra, tüm parçalara parafin inkuzyonu yaparak, bloklama işlemini gerçekleştirdik. Elde edilen tüm bloklardan 5 μ kalınlığında kesitler alarak, böbreğin histolojik yapısındaki özellikleri ortaya koyacak H+E, PAS+HL, Azan ve Masson boyalarını uyguladık.^{65,66}

Elektron mikroskopik incelemelerimiz için ise biyopsi materyallerinin diğer yarlarını; pH'sı 7,3 olan %3'lük glutaraldehit (Merck) fosfat tampon solusyonunda 1³⁰ saatlik prefiksasyona, aynı fosfat tamponunda 24 saat yıkadıktan sonra da %1'lik OsO₄ (Merck) solusyonunda 1 saatlik postfiksasyona tabi tuttuk. Parçaları tamponda çalkalayıp, yükselen alkol (Merck) serilerinden geçirerek dehidratasyon ve propilen oksitte (Merck) saydamlaştırma işlemini tamamladık. Daha sonra da “3 kısım propilen oksit + 1 kısım araldit” karışımında, “1 kısım propilen oksit + 1 kısım araldit” karışımında, “1 kısım propilen oksit + 3 kısım araldit” karışımında 1'er saat ve son olarak saf aralditte (Fluka) 24 saat bekleterek, kapsüllere gömdük. Aralditin polimerizasyonu için iki gün 45°C'lik ve üç gün de 60°C'lik etüvde tutuktan sonra 750 nm kalınlığında, yarı ince kesitlerini alıp, toluidin mavisiyle boyadığımız parçalardan, kesim bölgesini belirlediğimiz yerlerin 60 nm kalınlığında ince kesitlerini alarak, bu kesitlere uranil asetat ve Reynold'un kurşun sitrat boyalarını uyguladık.⁶⁷ Jeol 1010 elektron mikroskobunda inceleyerek, fotoğraflarını çektiğim.

4. BULGULAR

Çalışmamızda, kontrol grubu deneklerimizden aldığımız, böbrek korteks biyopsi materyallerini, her 3 deney grubuna ait biyopsi materyalleri ile ışık ve elektron mikroskopik düzeylerde karşılaştırdık.

Deneklerimizi;

I. grup: Kontrol grubu,

II. grup: Ayda 1 olmak üzere, 3 ay süreyle 5 mg/kg cisplatin verdigimiz deney grubu,

III. grup: Ayda 1 olmak üzere, 3 ay süreyle 5 mg/kg cisplatin ile birlikte günlük 5 mg/kg E vitamini verdigimiz deney grubu,

IV. grup: Ayda 1 olmak üzere, 3 ay süreyle 5mg/kg cisplatin ile birlikte günlük 8 mg/kg C vitamini verdigimiz deney grubu olmak üzere sınıfladık.

4.1. I. Grup Deneklerimize Ait Bulgular

4.1.1. Işık Mikroskopik Bulgular

Kontrol grubu deneklerimizin böbrek korteks materyallerini ışık mikroskopunda incelediğimizde; normal görünümde ve sıklıkta Malpighi cisimciklerine, distal ve proksimal tübüllere, toplayıcı borulara ve damarlara rastladık (Resim: 1).

Malpighi cisimciklerinde pariyetal yaprak hücreleri, yassı görünümlü, periyodik yerleşimli olup, nukleusları glomerüler odaciğa doğru hafifçe çıkıştı oluşturuyordu. Glomerüler ağaççık normal görünümlü idi (Resim: 2, 3, 4). Parietal yaprak bazal membranı ve glomerüler bazal lamina normal kalınlıkta, Jukstaglomerüler aparatlar normal görünümde idi (Resim: 3, 4). Makula densayı oluşturan distal tübül hücreleri; sıklaşmış, koyu renkli, yüksek prizmatik hücreler şeklinde görülmüyordu (Resim: 2, 3).

Piramidal şekilli hücrelerden oluşmuş, dar lümene sahip proksimal tübüller, apikal kısımlarında düzenli periyodisiteye sahip fırçamsı kenarlar içeriyyordu. Gerek izoprizmatik hücrelerin oluşturduğu, geniş lümenli distal tübüller, gerek proksimal tübüller ince bir bazal membranla çevrili idi (Resim: 3).

4.1.2. Elektron Mikroskopik Bulgular

I. grup deneklerimizin böbrek korteks materyallerini elektron mikroskopında incelediğimizde; Malpighi cisimciklerinin glomerülüünü oluşturan, kapiler ağaççığının epitel örtüsü ile viseral yaprağın podosit örtüsünün ortak basal membranın iki yüzü üzerine oturduğunu gözlemledik. Gerek podosit pediselleri gerekse fenestratalı endotel hücre delikçikleri düzenli bir periyodisiteye sahip idi (Resim: 5).

Oval nukleuslu, proksimal tübül hücreleri; apikal yüzlerinde mikrovilli oluşturmuş olup, sitoplasmalarında, lizozomlara, serbest ribozomlara, düz ve granüllü endoplazmik retikulum, hafifçe uzamış oval şekilli mitokondrilere rastlanıyordu (Resim: 6). Hücreler ince bir basal membran üzerine otururken sitoplasmalarıyla basal katlantılar oluşturmakta, oldukça uzamış mitokondriler de bu katlantılarda yer almaktadır (Resim: 7).

Apikal kısmı yer yer sitoplazmik girinti ve çıkışları oluşturmuş distal tübül hücreleri, yuvarlak nukleuslu olup, sitoplasmaları; serbest ribozomları, düz ve granüllü endoplazmik retikulumu ve basal katlantılar içerisinde yerleşmiş mitokondrileri içermekte olup, ince bir basal membran üzerine oturmakta idi (Resim: 8).

4.2. II. Grup Deneklerimize Ait Bulgular

4.2.1. Işık Mikroskopik Bulgular

Sadece cisplatin verilen II. grup deneklerimizin böbrek korteks materyallerini ışık mikroskopunda incelediğimizde; kontrol grubundan farklı olarak, başta kortikomedüller bölgede yer alan damarların çevresi olmak üzere, korteksteki damar çevrelerinde de yoğun infiltrasyon bölgeleri gözledik. Malpighi cisimcikleri ve bazı tübül yakınlarında da yer yer infiltrasyon odaklarına rastladık (Resim: 9, 10, 11, 12). Göze çarpan en önemli değişiklerden biri de, kortekse doğru giden, lümenleri ileri derecede genişlemiş, oval, uzun, spiral şekilli tübüller idi (Resim: 9, 10, 11, 12).

Kortikomedüller ve korteks bölgelerinde Malpighi cisimciklerinin çoğu normal görünüm ve büyülüüğünü kaybetmişti (Resim: 9, 10, 11, 12). Glomerüler yapı kısmen (Resim: 9, 11, 12) veya tamamen ortadan kalkmış, geriye bir miktar eosinofilik materyalin bulunduğu, glomerüler odacık kalıntılarına rastlanmaktadır (Resim: 9, 10). Damar çevresinde, yoğun infiltrasyon bölgesinde yer alan böbrek cisimcikleri ise infiltrasyon hücrelerinin bu bölgeyi tamamen doldurmasıyla hiç gözlenmemiştir (Resim: 9). Bu nedenle

normal yapıya sahip Malpighi cisimcik sayısı azalmış, yerini bağ doku tarafından doldurulmuştu (Resim: 9, 10, 13). Gerek Malpighi cisimciğinin pariyetal hücrelerinin üzerine oturduğu bazal membranda, gerekse glomerülün kapiler bazal laminasında kalınlaşma söz konusu idi (Resim: 12, 14).

Diger morfolojik değişiklikler, gerek proksimal, gerekse distal tübülde görülen; tübüler genişleme ve çeşitli derecedeki tübül hasarları idi. Tübüler genişleme, özellikle kortikomedüller bölgede başlayıp kortekse doğru yayılıyordu (Resim: 9, 11, 12).

Aşırı genişlemeler özellikle distal tübillerde görülmekte olup, genişleme sonucu tübüler hücre giderek şeklini kaybetmekte ve yassı hücre haline geçmeye iddi (Resim: 10, 11, 12, 15). Bu genişlemiş tübillerden bazılarının lümeninde ise eosinofilik materyale rastlanıyordu (Resim: 9, 12, 15).

Proksimal tübül genişlemeleri distal tübül genişlemelerine oranla daha sınırlı idi. Çoğu proksimal tübül hücre sitoplazması, normal yoğunluğunu kaybetmiş, özellikle apikal yüzün fırçamsı kenarlarında yer yer kopmalara, silinmelere veya düzleşmelere rastlanıyordu (Resim: 14). Bazı proksimal tübillerde, tübüler yapının dağıldığı, çok ender rastlanan bazı bölgelerde ise yeni tübül oluşumunun başladığını görülmüyordu (Resim: 16).

İleri derecede değişikliğe uğrayarak, hacmini artırmış tübillerde bazı tübül hücrelerinin lümene döküldüğü, bazı tübillerin etrafında da kanama odaklarının ortaya çıktığını saptadık (Resim: 10, 11, 12).

Tübül bazal membranlarında belirgin bir kalınlaşma gözleniyordu (Resim: 12, 14). Bu kalınlaşma yeni oluşmakta olan proksimal tübül bazal membranlarında, daha da fazla idi (Resim: 12, 16).

4.2.2. Elektron Mikroskopik Bulgular

II. grup deneklerimizden aldığımız böbrek korteks materyalleri elektron mikroskopunda incelendiğinde; Malpighi cisimciğinde; pariyetal yaprak hücre bazal mebranlarının yer yer kalınlaşlığı veya inceliği, hücre sitoplasmalarının apikalinde birtakım girinti ve çıkışlıkların ortaya çıktığı, bazı mitokondrilerde şişme ve kristal silinmelerinin olduğu gözlandı. Komşu hücrelerde, bir kısım hücrelerin birbirinden uzaklaşmaya başladığı, bu hücrelerin nukleus membranlarının ondülasyon oluşturduğu görülmekte idi (Resim: 17, 18, 19). Filtrasyon seddinin ortak bazal membranı yer yer kalınlaşarak, elektron yoğun bir görünüm almış idi (Resim: 18). Endotel hücre sitoplazmik delikçiklerinin ve podosit pedisellerinin kendi aralarında kaynaşmaları sonucu, gerek pediseller, gerekse endotel

delikçikleri arasındaki periyodisite bozulmuş olup (Resim: 17, 18), çoğu podositin aktivitesi artmış idi (Resim: 17, 19).

Bazal membranı yer yer dublelenmiş proksimal tübül hücrelerinin apikalinde, fırçamsı kenarlarının, bazı yerlerde tamamen döküldüğü, tabanda ise bazal labirent düzeninin bozulup, katlantıların büyük oranda ortadan kaybolduğu gözlandı. Hücre sitoplazmalarında; çok sayıda vakuolün, kristalleri silinmiş, şişkinleşmiş mitokondrilerin ve farklı büyüklük ve sayıda lizozomun ortaya çıktıgı, bunun yanı sıra mitokondri ve granüllü endoplazmik retikulum sayısının normale oranla azaldığı göze çarpıyordu (Resim: 20, 21, 22, 23, 24). Nükleus sitoplazma ilişkisinin bozulduğu (Resim: 21), hücrelerin lateral bağlantı komplekslerinde genişlemelerin olduğu izlenmekte idi (Resim: 24).

Yassılaşmış ve lümenleri genişlemiş distal tübül hücrelerinde, bazal membranların düzensizleştiği, nükleus zarının invaginasyon oluşturduğu gözlenmekte idi. Hücre sitoplazmasında; sitoplazmik konsantrasyonun azalarak vakuollerin ve yer yer boşlukların ortaya çıktıgı, çoğu hücre organelinin silindiği, şişkinleşmiş mitokondrilerde kristallerin silikleştiği, farklı içerik ve sayıda lizozomların olduğu, bazal katlantılarının kaybolduğu ve apikal çıkıştılarının tamamen döküldüğü gözleniyordu (Resim: 25).

İntersitisyal bağ dokuda yer alan damarların endotel hücrelerinde, ileri derecede bozukluk gözlenmekte idi; bazal membran yer yer kaybolmuş, apikal endotel sitoplazması düzleşmiş, hücre organelleri silinmiş idi. Kapilerlerin yırtılan bölgelerinden bağ doku içerisinde kan hücrelerinin geçtiği ve intersitisyal dokuda çok miktarda kollajen lifin bulunduğu gözleniyordu (Resim: 19, 26).

4.3. III. Grup Deneklerimize Ait Bulgular

4.3.1. Işık Mikroskopik Bulgular

Cisplatin ile birlikte E vitamini uyguladığımız III. grup deneklerimizin böbrek korteks materyallerini ışık mikroskobunda incelediğimizde; kortikomedüller ve korteks bölgelerinde, infiltrasyon sahalarına oldukça az rastlanmakta ve bu sahaların büyük kısmı yeni yapılmakta olan proksimal tübül hücreleri tarafından doldurulmakta idi (Resim: 27, 28, 29, 30, 31, 32).

Malpighi cisimciklerinin çoğu normal şekil ve büyülüğe sahip olup, sayılarında büyük kayba rastlanmıyordu. Parietal yaprak bazal membranı ve glomerüler bazal lamina normale yakın kalınlıkta olup, yer yer glomerülü haraplanmış Malpighi cisimcikleri göze çarpıyordu (Resim: 31, 33).

Cisplatin grubuna oranla tübüler genişlemelere gerek hacim, gerek sayı olarak daha az rastlanmakta idi (Resim: 27, 28, 29, 31). Genişlemiş tübüllerde lümene bakan hücreler daha az bozulmuştu ve tek katlı yassi epitelle çevrili tübül sayısı oldukça azdı (Resim: 27, 28, 29, 30, 31, 32). Bazal membran üzerine oturan proksimal ve distal tübül hücrelerinin çoğu normale yakın düzen ve görünümde olup, izlenen proksimal tübül hücrelerinin fırçamsı kenarlarında yer yer bozulma göze çarpmakta idi (Resim: 33, 34). İnfiltrasyon sahalarında rastlanan tübül oluşum evresindeki epitel hücreleri, önce hücre grupları oluşturmaktı, daha sonra bu topluluğun çevresi kalın bir bazal membranla sarılmakta ve lumen oluştuğça bazal membran giderek incelmekte idi (Resim: 28, 29, 30, 32).

4.3.2. Elektron Mikroskopik Bulgular

III. grup deneklerin korteks biyopsi materyalleri elektron mikroskobunda incelendiğinde; çoğu Malpighi cisimciğinde, filtrasyon seddi bazal membranının normal kalınlıkta olduğu, ancak yer yer dublelenmeler gösterdiği, podosit pediselleri ve endotel delikçikleri arasında yer yer periyodisite bozuklukları olduğu gözleniyordu. Bazı kapiler lümenlerinde sitoplazma parçacıklarına rastlanmakta idi (Resim: 35).

Yer yer kalınlaşmış bazal membran üzerinde oturan proksimal tübül hücrelerinin fırçamsı kenarlarının, apikal sitoplazmadan ayrılip, bu bölgede bir takım boşlukların meydana geldiği, tabanda ise, genellikle düzenli bazal katıntıları görülmekte idi. Sitoplasmalarında; normal kristalı, oval mitokondri ve birkaç lizozom içeren hücrelerin yanı sıra sitoplazma konsantrasyonunu kaybederek yer yer boşluklarınoluştuğu, bazal labirenti bozulmuş hücreler de gözlenmekte idi (Resim: 36). Bazı bölgelerde ise yeni tübül oluşum topluluklarına rastlanıyordu.

Yuvarlak nukleuslu distal tübül hücrelerinin apikal çıkışlarında yer yer dökülme, hücre komşuluklarında genişlemelerin olduğu, bazal katıntılarının bir miktar bozulduğu gözlenmekte idi. Hücre sitoplasmalarında, kristalleri kısmen bozulmuş mitokondrilere, bir kaç lizozoma, serbest ribozomlara, Golgi aygıtı'na ve düz ve granüllü endoplazmik retikuluma rastladık (Resim: 37).

İntersitisyal bağ dokuda, bir çok kapilerin haraplandığı, bu sahalarda çeşitli infiltrasyon hücreleri, kollajen lifler ve hasar gören endotel hücrelerinin oluşturduğu aralıklardan bağ dokuya geçen kan hücreleri izlenmekte idi (Resim: 38).

4.4. IV. Grup Deneklerimize Ait Bulgular

4.4.1. Işık Mikroskopik Bulgular

Cisplatin ile birlikte C vitamini uyguladığımız IV. grup deneklerimizin böbrek korteks materyallerini ışık mikroskopunda incelediğimizde; dokunun hemen hemen normal görünümde olduğunu izledik.

Kesitlerimizde infiltrasyon sahaları çok seyreldiği gibi, ayrıca bu sahalar, yeni tübüller ve tübul oluşumunda rol alan hücreler tarafından doldurulmuştu (Resim: 39, 40, 41, 42, 43).

Kesitte gözlenen Malpighi cisimcikleri; gerek sayı, gerek büyüklük, gerekse yapısal yönden normal bir görünüm sergilemeyecekti. Çok ender olarak, bazı Malpighi cisimciklerinde bazal membran kalınlaşmalarına ve glomerülünde dejenerasyonlara rastladık (Resim: 44, 45, 46, 47).

Cisplatinden kaynaklanan tübüler genişlemeler, büyük oranda azalmış ve hücre nukleusları da oval şekillерini korumaktadır (Resim: 39, 41, 44, 46, 47). Tübülerin çoğu normal görünümlü olup, proksimal tübul hücrelerinin fırçamsı kenarları oldukça düzenlidir. Tübul bazal membranlarında hafif bir kalınlaşma gözleniyordu (Resim: 42, 43, 45, 47).

4.4.2. Elektron Mikroskopik Bulgular

IV. grup deneklerin böbrek korteks materyallerini elektron mikroskopunda incelediğimizde, Malpighi cisimciğinde; pariyetal yaprak bazal membranlarında zaman zaman dublelenmelere, sitoplasmalarında yer yer vakuollere ve bozulmuş mitokondrilere rastladık. Normal görünümlü, ancak bazı bölgelerde duble yapmış ortak bazal membranın, her iki yüzünde yer alan podosit pediselleri ve endotel fenestrataları genelde düzenli periyodisiteye sahip idi. Endotel hücrelerinin bazı kapiler lümenleri içine sitoplazmik uzantılar gönderdiği izleniyordu (Resim: 48, 49).

Proksimal tübülerde; bazal katlantı yüksekliğinde bir miktar kısalma görüldü. Vakuol sayısının diğer gruptara oranla çok azaldığı, mitokondri görünümünün normale yakın, ancak daha yuvarlak olduğu gözlenen sitoplazmasında, diğer hücre organelleri de yer almaktadır. Apikal yüzdeki fırçamsı kenar normal görünümde idi (Resim: 50, 51).

Cisplatin etkisiyle, yapıların haraplanarak ortadan kalkmış olduğu bazı bölgelerde ise; çeşitli gelişim aşamasında tübul oluşumları görülmektedir (Resim: 52, 53). Önce, epitel hücreleri tübul oluşturmak üzere bir araya gelip, lumen, daha sonra fırçamsı kenar

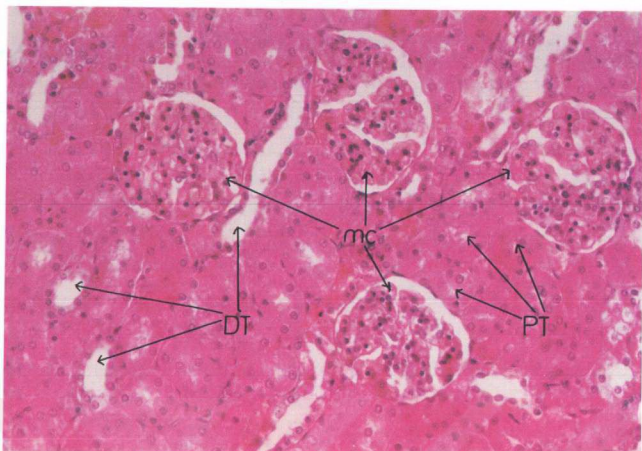
oluşturmaya çalışıyor, nihayet hücrelerde bazal katlantılar ortaya çıkmaya başlıyordu. Giderek apikal yüzde firçamsı kenarların, bazal yüzde ise bazal katlantıların uzadığı görülmüyordu (Resim: 52, 53).

Distal tübülerde; bir kısım tübülün genişleyerek hücre boyalarının kısaldığı görülmekte idi. Buradaki baskiya bağlı olarak, hücrelerin sitoplazmalarında, kristalleri kısmen veya tamamen silinmiş, şişkin mitokondrilere ve farklı yapınlarda lizozomlara rastlanıyordu. Apikal yüzde sitoplazmik çıktımların çoğunun veya aşırı baskiya uğrayan hücrelerde, tamamının dökülkerek, apikal yüzün düzleştiği görülmüyordu (Resim: 54). Bazı tübülerde ise etkilenme daha az olup, hücrelerde, dolayısıyla bazal labirentte bir miktar kısalma görülmüyordu (Resim: 55).

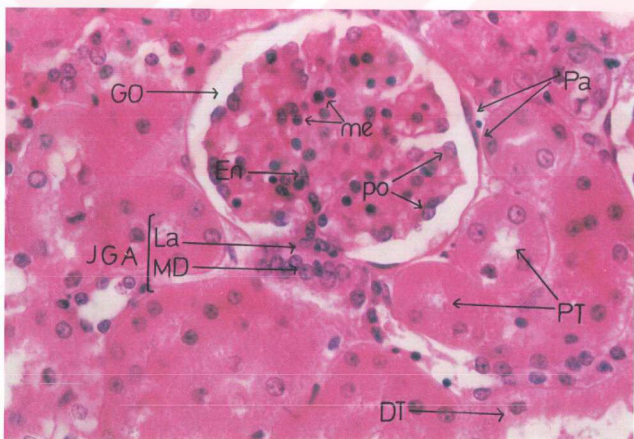
İntersitisyal bağ dokuda; normal görünümlü damarlar, bağ doku ve infiltrasyon hücreleri ile kollajen lifler gözleniyordu.



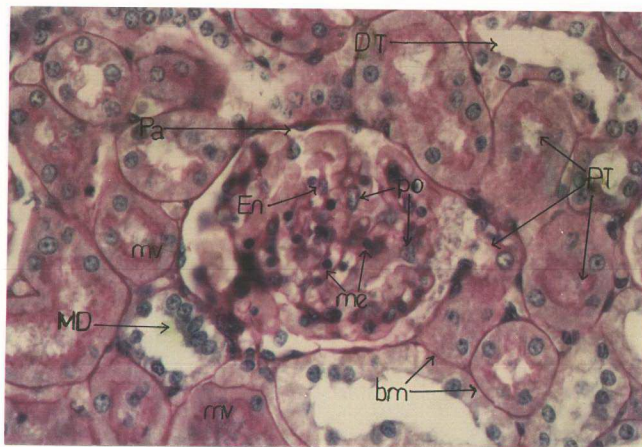
I. GRUP DENEKLERİMİZE AİT İŞIK VE ELEKTRON MİKROSKOPİK GÖZLEMLER



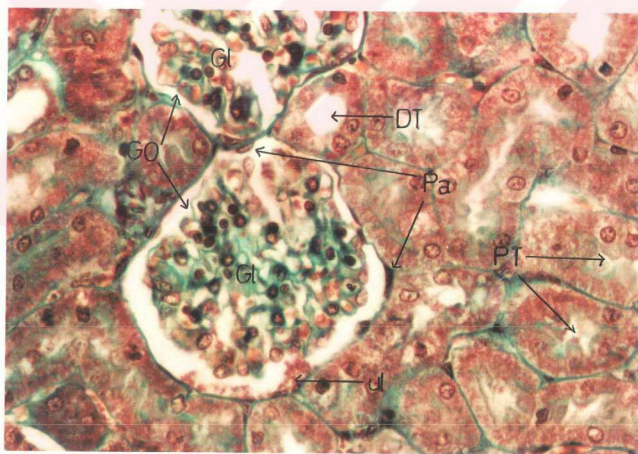
Resim 1: Korteksten geçen kesidimizde; gerek Malpighi cisimciklerinin (mc), gerekse proksimal (PT) ve distal tübülerin (DT) normal yapı özelliklerine sahip oldukları görülmektedir. H+E, X 20.



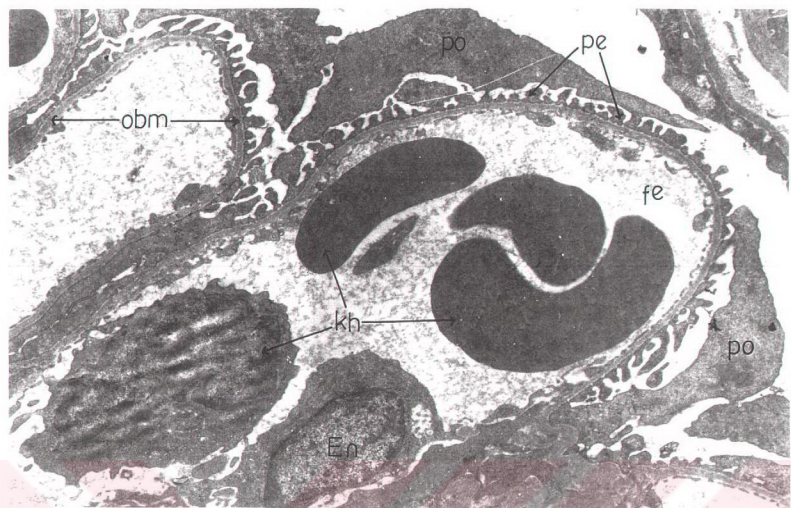
Resim 2: Malpighi cisimcığında; pariyetal yaprak hücrelerinin (Pa) sınırladığı glomerüler oda (GO), glomerüler yapıyı oluşturan; endotel (En), podosit (po) ve mesangial hücreler (me), vasküler kutbunda ise lacis (La) ve macula densa hücrelerinin (MD) oluşturduğu jukstaglomerüler aygit (JGA) ile cisimcık etrafında proksimal (PT) ve distal tübüler (DT) göze çarpmaktadır. H+E, X 40.



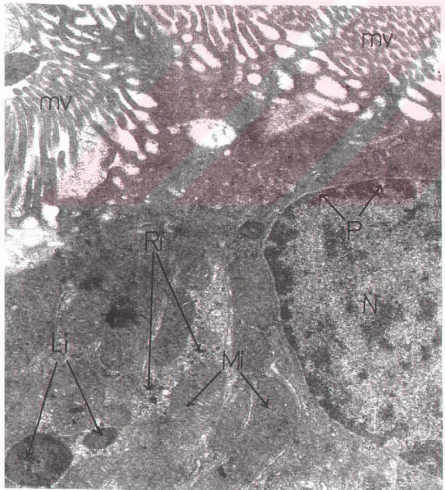
Resim 3: Malpighi cisimciğinde, üriner kutbu oluşturan proksimal tübul ve vasküler kutbun yakınında macula densa (MD) gözü çarpmaktadır. Pariyetal yaprak hücrelerinin (Pa) ve glomerüler kapiler ağaççığının basal laminası oldukça ince, tübul basal membranları (bm) normal kalınlıkta, proksimal tübul (PT) fırçamı kenarları (mv) düzenli görünümündedir. Endotel: En, podosit: po, mesangial hücre: me, distal tübül: DT. PAS+HI, X 40.



Resim 4: Malpighi cisimciğinde, glomerüler odayı (GO) çevreleyen pariyetal yaprak hücreleri (Pa) ve odacıkta toplanan ultrafiltrat (ul) gözü çarpmakta; çevrede ise proksimal (PT) ve distal tübüler (DT) yer almaktadır. Glomerül: Gl. Masson, X 40.



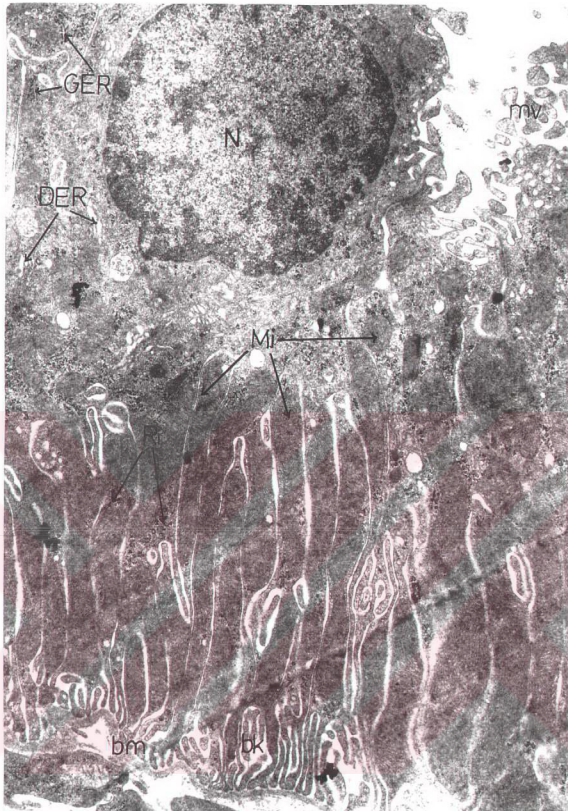
Resim 5: Glomerülden geçen bu kesitte; ortak ince basal membran (obm) üzerine oturan podositler (po), kapiler endotel hücreleri (En); bunların düzenli bir periyodisiteye sahip pediselleri (pe) ve endotel fenestrataları (fe) gözlemlenmiştir. Kapiler duvarında endotel hücresi ve lümende kan hücreleri (kh) görülmektedir. Uranil asetat-Kurşun sitrat, X 4000.



Resim 6: Proksimal tübül hücre sitoplazmasında; kristaller normal görünümde oval veya uzamış şekilde sahip mitokondriler (Mi), çeşitli çapta lizozomlar (Li), serbest ribozomlar (Ri), apikalinde çapları ve uzunlukları birbirine eşit mikrovillisi (mv) gözlemlenmiştir. Nükleusu (N) oval, ökromatin olup, nukleus porları (P) normal periyodisiteye sahiptir. Uranil asetat- Kurşun sitrat, X 6000.

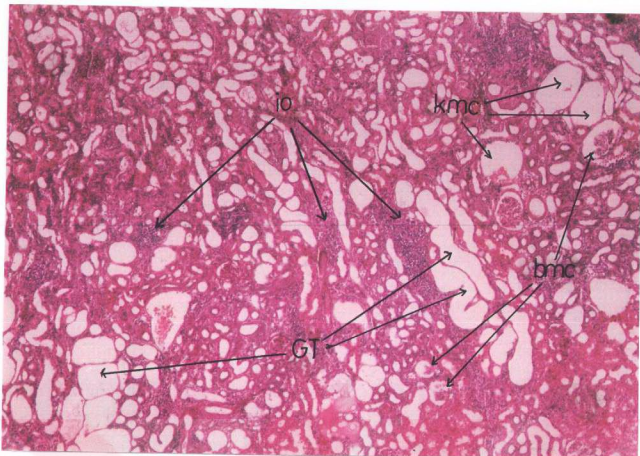


Resim 7: İnce bir basal membran (bm) üzerinde oturmuş proksimal tübül hücresinde, bazalde yüzeyi artırmak amacıyla sitoplazmanın yaptığı bazal katlanıtlar (bk) ve bunların içine yerleşmiş belirgin kristal, uzamış mitokondriler (Mi) izlenmektedir. Ribozom: Ri, intersitisel bağ doku: Int. Uranil asetat- Kurşun sitrat, X 8000.

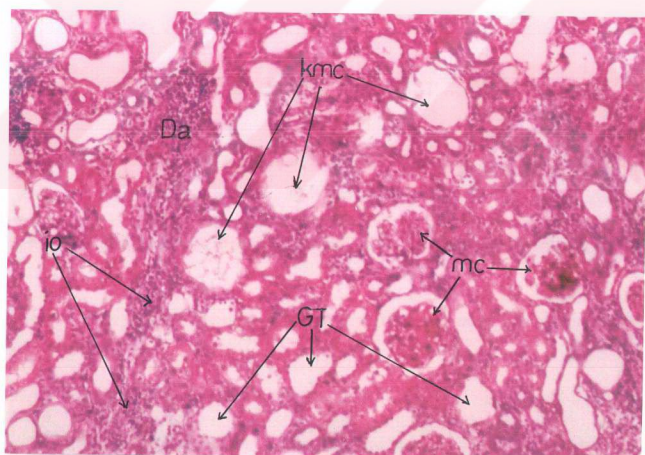


Resim 8: İnce basal membran (bm) üzerine oturmuş, yuvarlak nükleuslu (N) distal tübul hücresinin, apikalde bir takım girinti ve çıkışlıklar (mv), bazalde ise düzenli bir basal labirent oluşturduğu görülmektedir. Sitoplazması; serbest ribozomları (Ri), düz (DER) ve granüllü endoplazmik retikulumu (GER) ve bazal katlanıtları (bk) arasına yerleşmiş mitokondrları (Mi) içermektedir. Uranil asetat- Kurşun sitrat, X 6000.

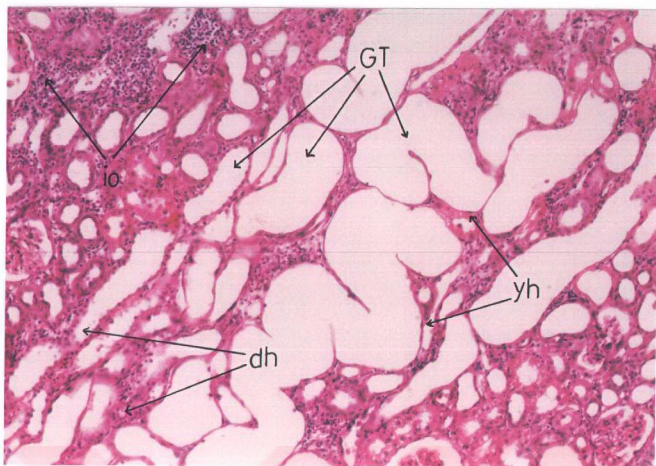
II. GRUP DENEKLERİMİZE AİT İŞIK VE ELEKTRON MİKROSKOPİK GÖZLEMLER



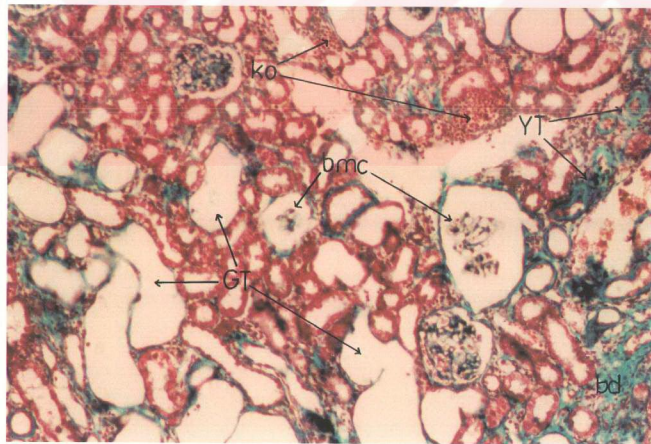
Resim 9: Kortikomedullar bölgeden geçen bu kesitte; infiltrasyon odaklarına (io), ileri derecede genişlemiş tübüllere (GT) ve bunlara yakın, morfolojisi kısmen bozulmuş (bmc) veya glomerülü tamamen kaybolmuş Malpighi cisimciklerine (kmc) rastlanmaktadır. H+E, X 4.



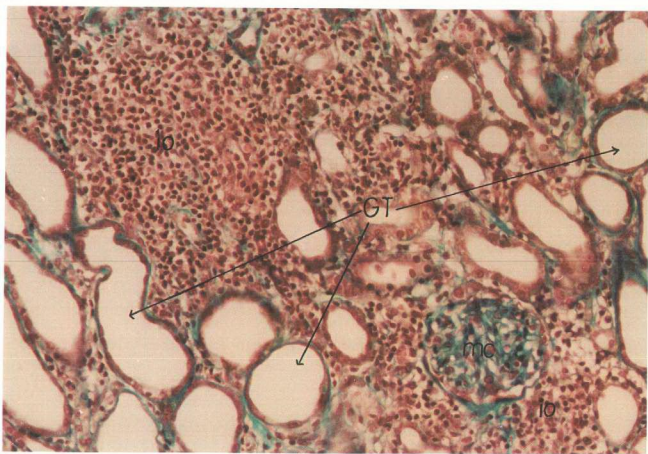
Resim 10: Damar (Da) boyunca devam eden infiltrasyon sahalarında (io) ve bu bölgeye yakın Malpighi cisimciklerinde (kmc) glomeruler ağaççığının ve paryetal yaprak hücrelerinin tamamen yok olduğu, ileri derecede genişlemiş tübüllerde (GT) çoğu hücrenin döküldüğü görülmektedir. Malpighi cisimcikleri: mc. H+E, X 10.



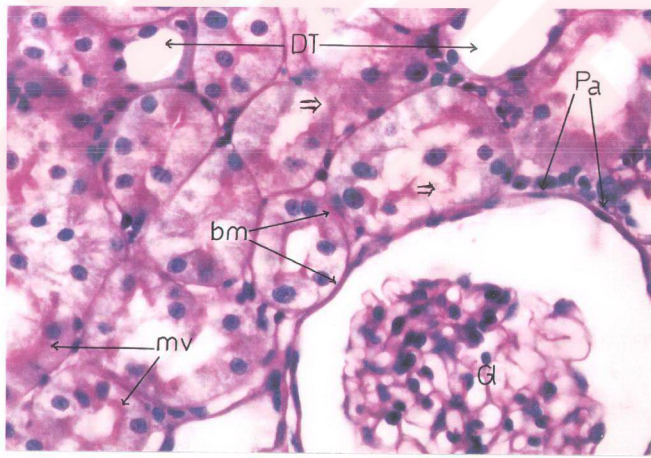
Resim 11: İnfiltasyon odağına (io) yakın tübillerde ileri derecede genişleme (GT); hücrelerde yassılaşma ve hatta dökülmeler gözlenmektedir. Yassı hücre: yh, dökülmüş hücre: dh. H+E, X 10.



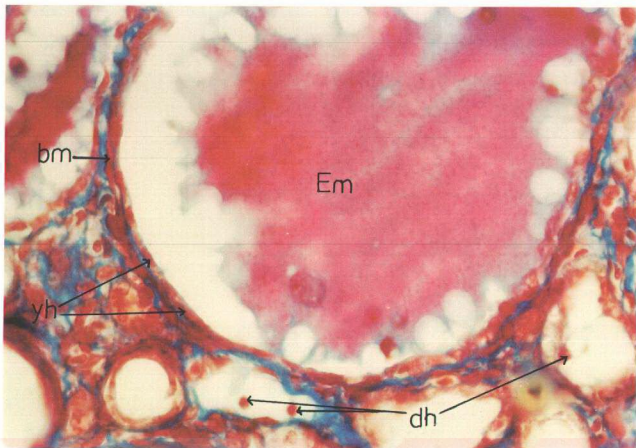
Resim 12: İnfiltasyon sahalarında yer yer kanama odaklarına (ko), bazı yeni oluşmaktadır kalın bazal membranlı tübüllere (YT), genişlemiş tübüler (GT) ile parietal yaprak hücreleri düşmüş, ancak kalın bazal membranı mevcut, haraplanılmış Malpighi cisimciklerine (bmc) rastladık. Bağ doku: bd. Masson, X 10.



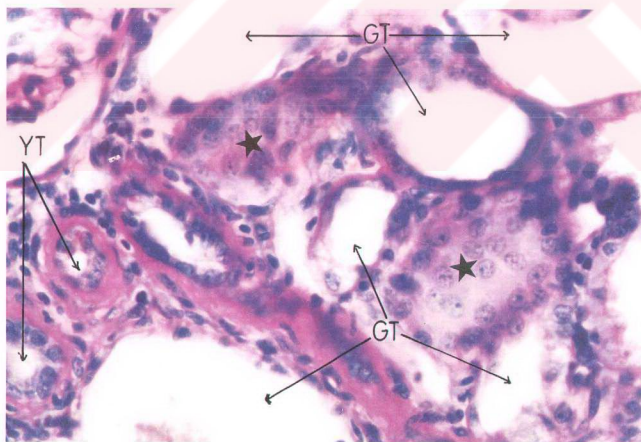
Resim 13: İnfiltasyon odağını (io) oluşturan hücreler ve bu bölgede etrafi kalın basal membranla çevrili, yassi hücreli genişlemiş tübüler (GT) gözlenmektedir. Malpighi cisimcisi: mc. Masson, X 20.



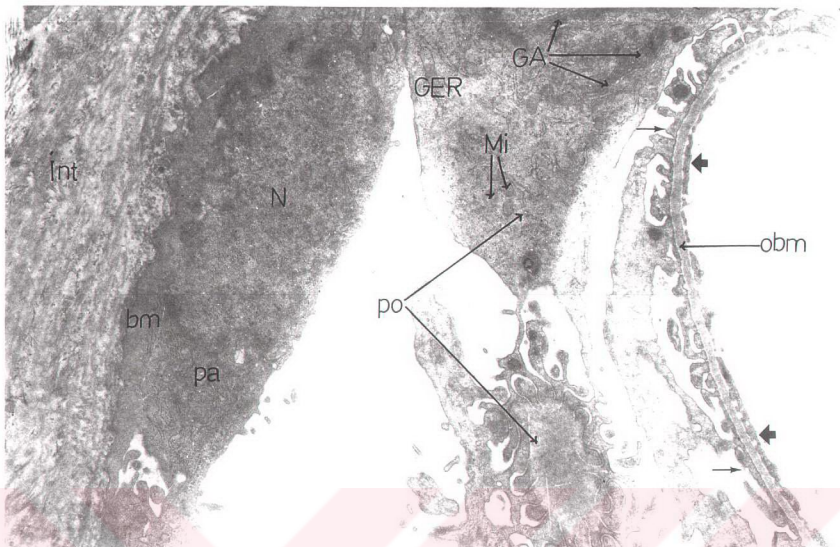
Resim 14: Gerek Malpighi cisimciklerini sınırlayan pariyetal yaprak hücrelerinin (Pa), gerekse tübülerin üzerine oturdukları basal membranların (bm) kalınlığı, firçamı kenarlarda (mv) yer yer kopmalar, silinmeler (\Rightarrow) gibi periyodisite bozulmaları gözle çarpıyordu. Glomerül: Gl, distal tübül: DT. PAS+HI, X 40.



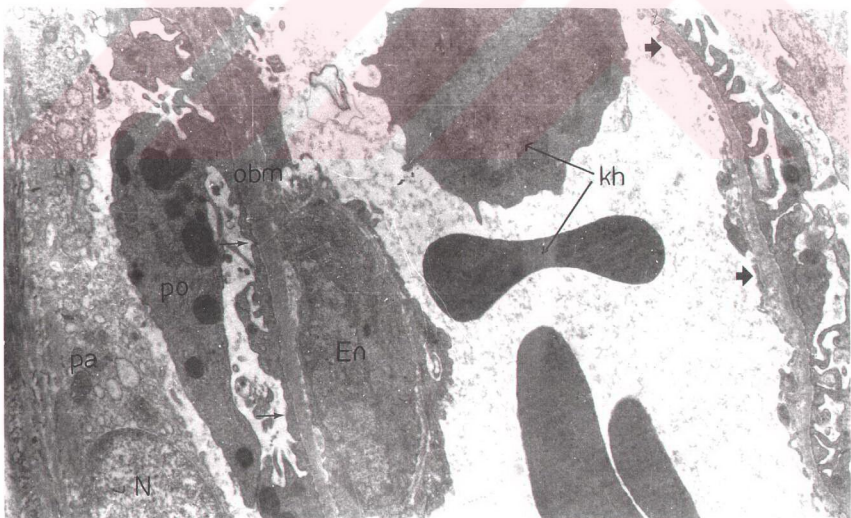
Resim 15: Kalın basal membran üzerine oturan tübüler genişlemelerde (GT), duvarın yassi epitelle çevrildiği (yh), genişlemiş lümende ise eosinofilik materyalin (em) yer aldığı gözlenmektedir. Basal membran: bm, dökülmüş hücre: dh. Azan, X 40.



Resim 16: İnfiltasyon sahasında, aşırı genişlemiş tübüllerin (GT) yanı sıra lümeni yeni açılmakta olan kalın basal membranlı tübüllere (YT) ve tübül oluşturmak üzere gruplanmış epitel topluluklarına (*) rastladık. PAS+HI, X 40.



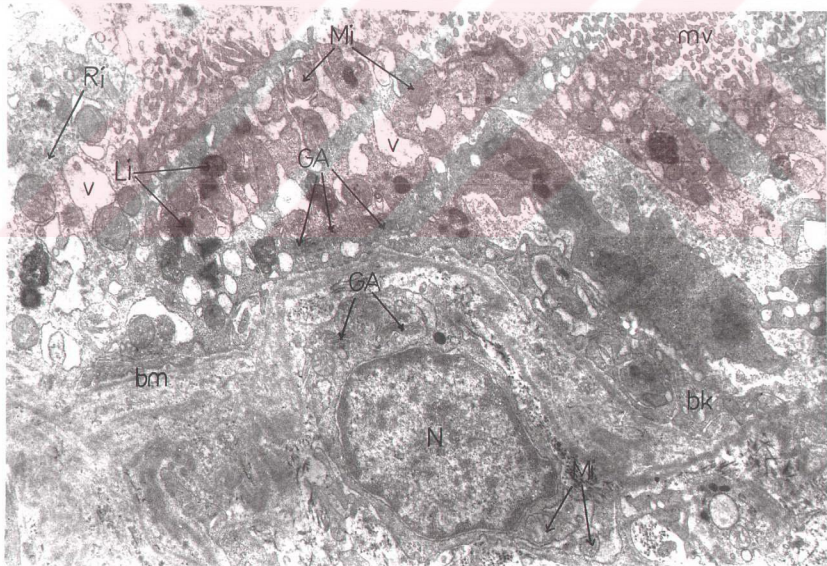
Resim 17: Malpighi cisimciğinde; kalınlaşmış, ondülüllü bazal membran (bm) üzerine oturmuş, parietal yaprak hücresinin (pa) nükleusunun da ondülasyon yaptığı, cisimcik içerisinde yer alan podositin (po) aktif hücre görünümdünde olduğu (Golgi aygıtı (GA), Granüllü endoplazmik retikulum (GER), mitokondri (Mi)), ancak, pedisel periyodisitesinin bozulduğu (→) gözle çarpmaktadır. Fenestratalı endotelin delikçikleri yer yer kaybolmuş (←) olup, bazı yerlerde hücre direkt bazal membran üzerine oturmaktadır. Nükleus: N, intersitisel bağ dokusu: Int. Urani asetat- Kurşun sitrat, X 5000.



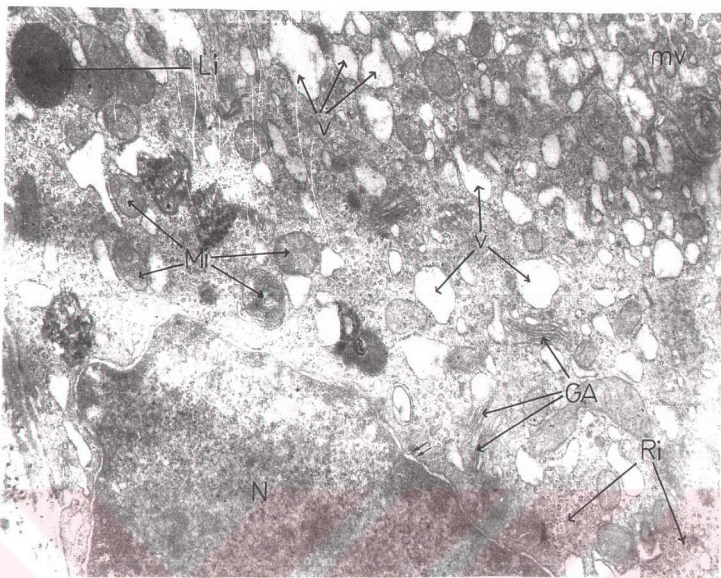
Resim 18: Parietal yaprak hücresinin (pa) basal membranının kalınlığı, hücre sitoplazma konsantrasyonunun azaldığı, organellerinin oldukça zarar gördüğü izlenmektedir. Yer yer podosit (po) pedisellerinin (→) ve endotel (En) delikçiklerinin kaynaşarak (←) direkt olarak, kalınlaşmış elektron opak bazal membran (obm) üzerine oturduğu gözlenmektedir. Kan hücreleri: kh. Nükleus: N. Uranil asetat- Kurşun sitrat, X 5000.



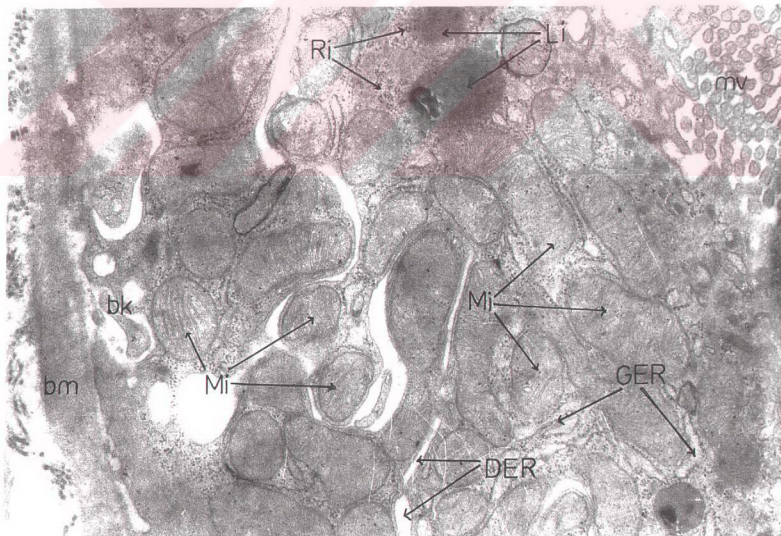
Resim 19: Basal membranı (bm) yer yer kalınlaşmış, birbirile ilişkisi azalmış (*) iki parietal yaprak hücresi (pa), sitoplazmasının bir kısmı görülen aktif podositer (po) yapı ve Malpighi cisimcığının yakınında kollajen lif artışı (KL) gösteren intersitisyal bağ doku (Int) ve içerisinde haraplanmış bir hücre (hh) gözlenmektedir. Uranil asetat- Kurşun sitrat, X 5000.



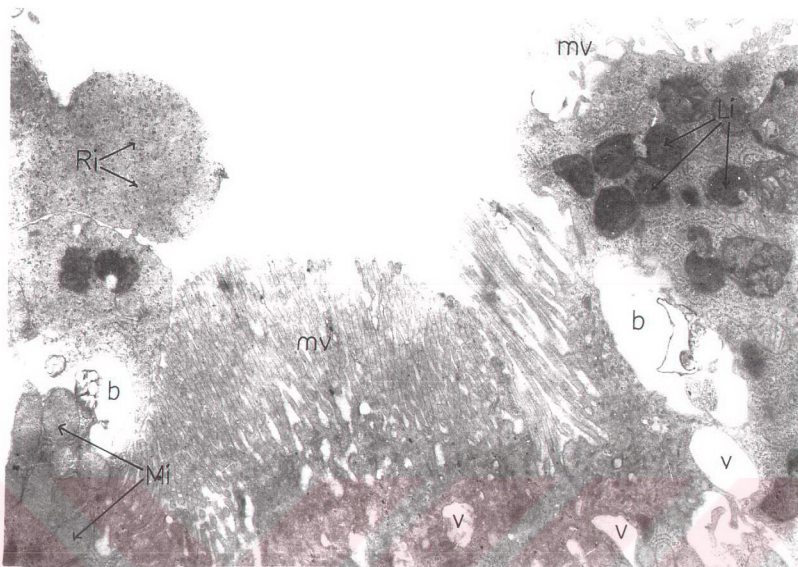
Resim 20: Basal membranı yer yer dublelenmiş (bm), proksimal tüber hücresinin apikalinde fırçamı kenarın (mv) bazı yerlerde koparak lümene döküldüğü, tabanında ise basal labirent (bk) düzeninin bozulduğu görülmektedir. Hücre sitoplazması, çok sayıda vakuol (v), farklı büyüklük ve içerikte lizozom (Li), kristaller silinmiş, şişkin mitokondri (Mi), serbest ribozom (Ri) ile Golgi aygıtı (GA) içermektedir. Uranil asetat- Kurşun sitrat, X 5000.



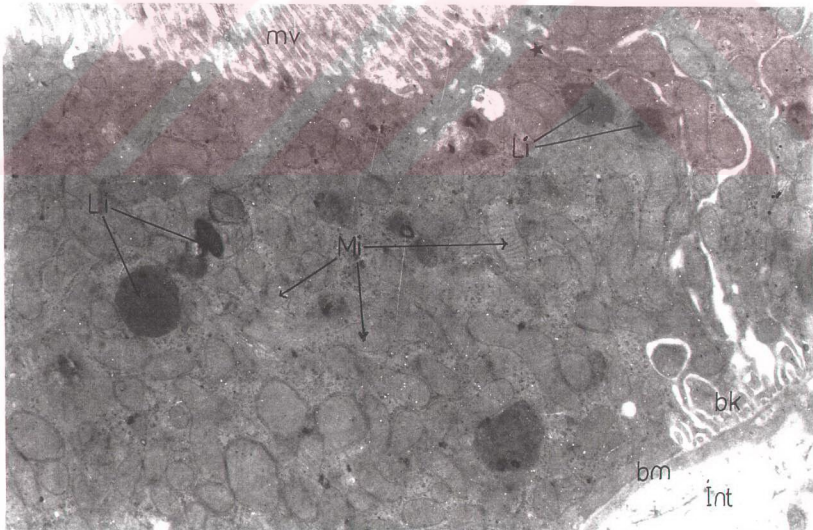
Resim 21: İleri derecede haraplanmış bu tübül hücrende; fırçamış kenarların (mv) bir kısmının koptuğu, vakuol (v) ve lizozom (Li) sayısının arttığı, mitokondrilerin (Mi) şişkinleşerek kristalarının silindiği, serbest ribozom (Ri) ve Golgi aygıtı (GA) sayısında artışın ortaya çıktıığı, buna karşın basal katınlıların düzleştiği ve nükleus (N)-sitoplazma ilişkisinin bozulduğu (≡) gözlenmektedir. Uraniyl asetat- Kurşun sitrat, X 8000.



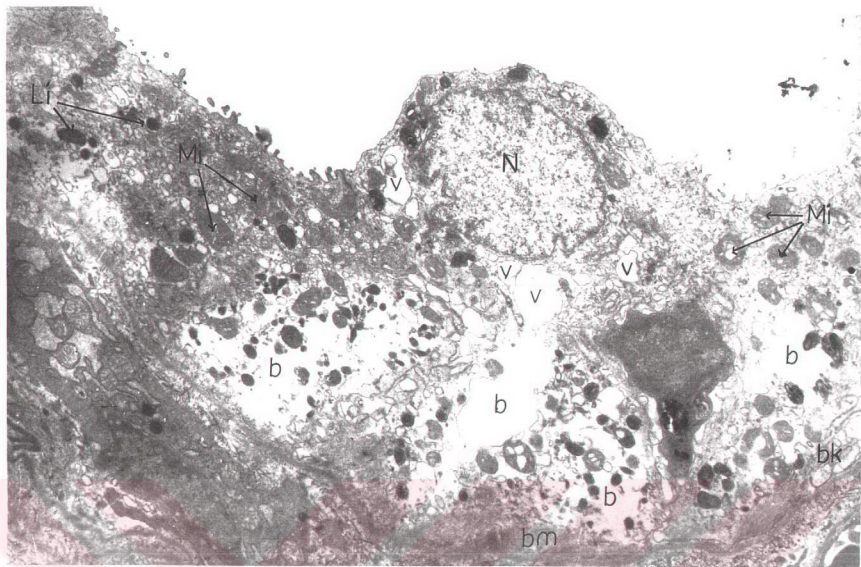
Resim 22: Apikal yüzünde (mv) haraplanma görülen, sitoplazmada; krista silinmeleri gözlenen şişkinleşmiş mitokondriler (Mi), farklı çap ve içeriğte lizozomlar (Li), serbest ribozomlar (Ri), düz (DER) ve az miktarda granüllü endoplazmik retikulum (GER) bulunduran, basal labirenti (bk) hemen hemen düzleşmiş bir proksimal tübül hücresi ve kalınlaşmış basal membranı (bm) izlenmektedir. Uraniyl asetat- Kurşun sitrat, X 12000.



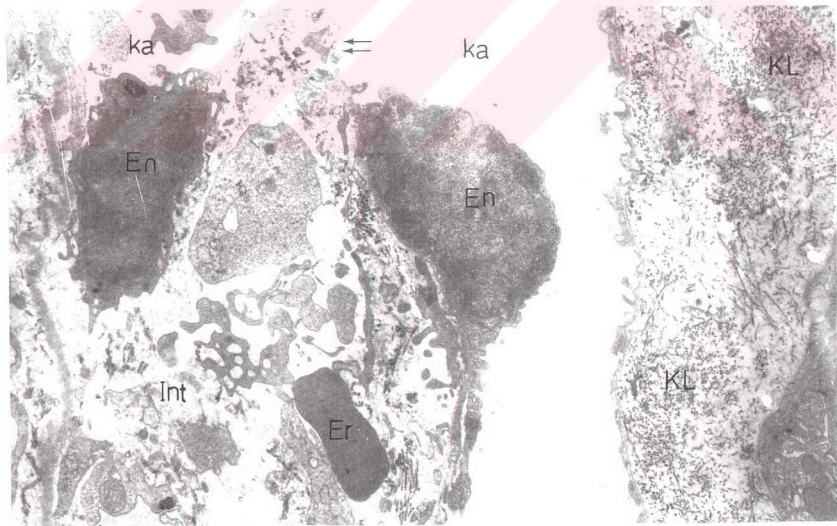
Resim 23: Fırçamsı kenarları (mv) yer yer tamamen dökülmüş, apikal sitoplazması açılmış , sitoplazması içerisinde geniş vakuollerin (v) ve sitoplazmik boşlukların (b) ortaya çıktıgı, kristaller bozulmuş şıskin mitokondrilerin (Mi), farklı çap ve içeriğe lizozomların (Li) ve serbest ribozomların (Ri) izlendiği proksimal tüber hücreleri gözlenmektedir. Urani asetat- Kurşun sitrat, X 6000.



Resim 24: Şıskinleşmiş mitokondrilerin (Mi) çoğunun kristalarının silindiği proksimal tüber kesidinde, hücrelerin birbirleriyle (*), bazal membranla (bm) ilişkilerini ve fırçamsı kenarlarını (mv) yer yer kaybetmeye oldukça görülmektedir. Bazal katlantı: bk, intersitisel bağ doku: İnt. Urani asetat- Kurşun sitrat, X 6000.

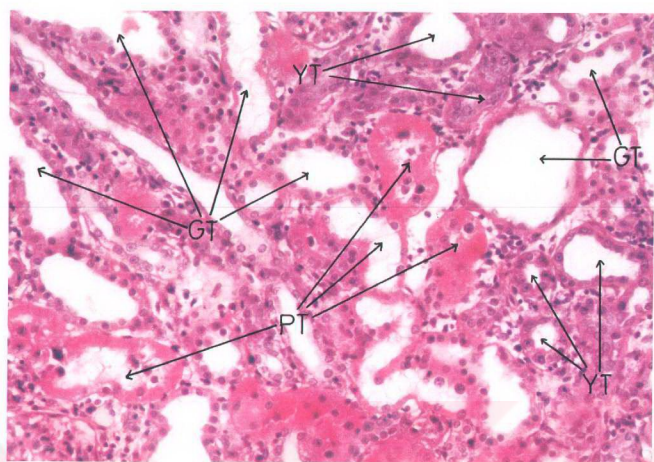


Resim 25: Düzensiz basal membran (bm) üzerine oturan, apikal sitoplazmasının yer yer koparık lümene döküldüğü, basal labirentinin (bk) düzleştigi gözlenen distal tübde; tübül lumeninin genişlemesinden dolayı baskıya uğrayan hücrenin yassılaştiği, yuvarlak nükleusunun (N) lümene doğru çıkıştı yaptığı, sitoplazmasında ise, organellerin yer yer kaybolduğu, sitoplazma konsantrasyonunun azalarak vakuol (v) ve boşlukların (b) ortaya çıktıgı gözlenmektedir. Şişmiş mitokondriler: Mi, lizozomlar: Li. Uranil asetat- Kurşun sitrat, X 4000.

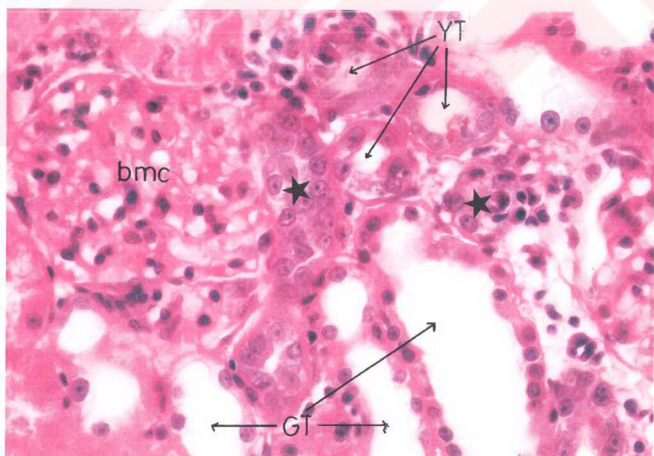


Resim 26: İnteritusiyel bağı dokudan (Int) geçen kesitte; kapilerin (ka), endotel (En) sitoplazmasının yer yer parçalandığı (↔) gözlenmektedir. Kapiler etrafında, artmış sayıda kollajen lifleri (KL) ile bu kapilerden sızan bir eritrosit (Er) görülmektedir. Uranil asetat- Kurşun sitrat, X 4000.

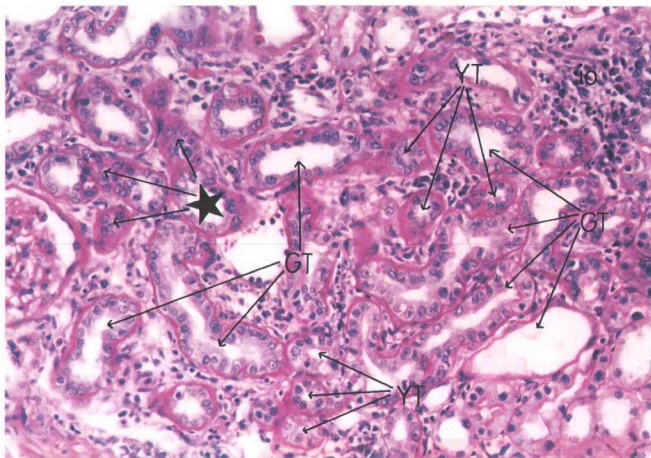
III. GRUP DENEKLERİMİZE AİT İŞIK VE ELEKTRON MİKROSKOPİK GÖZLEMLER



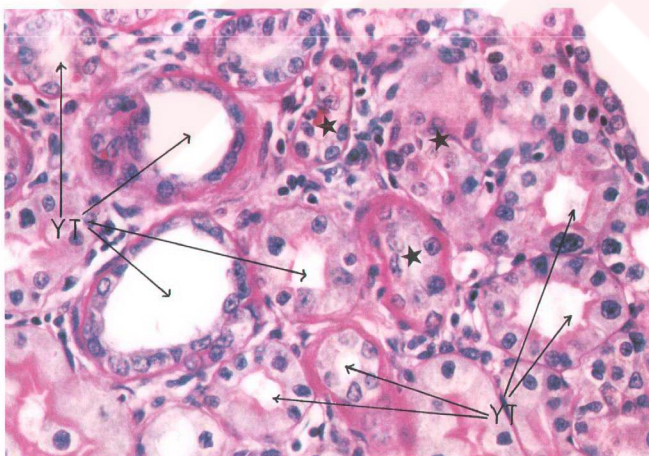
Resim 27: Normal tübülerin yanı sıra çeşitli derecede genişlemiş tübüler (GT), yapısı kısmen bozulmuş proksimal tübüler (PT) ve yeni oluşmuş tübüler (YT) gözlenmektedir. H+E, X 20.



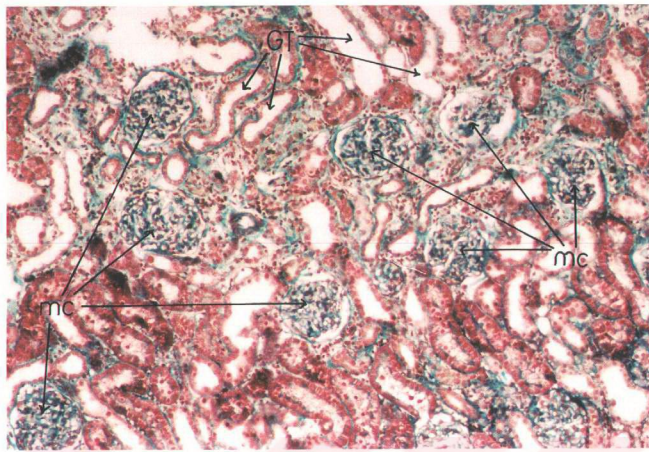
Resim 28: Morfolojisi kısmen bozulmuş Malpighi cisimciği (bmc), etrafında yeni tübül oluşumları (YT) ve çeşitli derecede genişlemiş tübüler (GT) gözlenmektedir. Tübül hücre toplulukları: *. H+E, X 40.



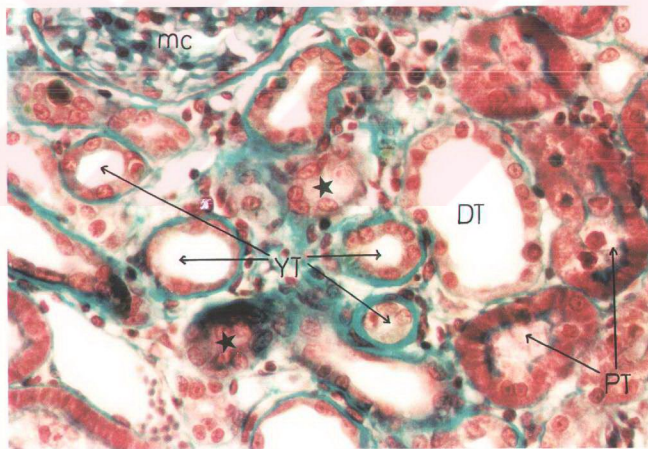
Resim 29: İnfiltasyon sahalarında (io), yeni oluşmaktadır olan, kalın basal membranlı proksimal tübüler (YT), tübül hücre toplulukları (*) ve kalın basal membranlı, farklı ölçüde genişlemiş tübüler (GT) gözlenmektedir. PAS+HI, X 20.



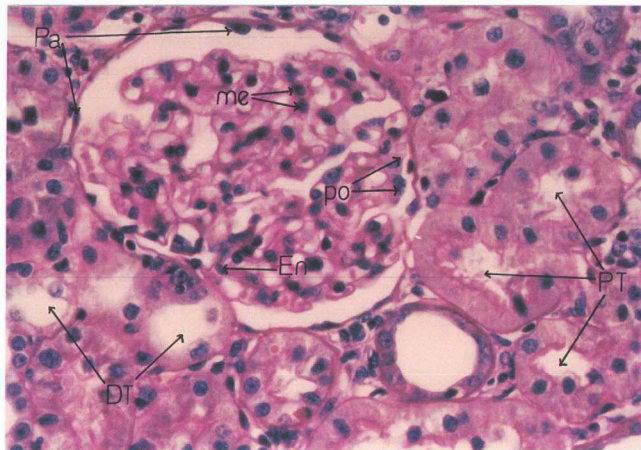
Resim 30: İnfiltasyon bölgesinde, kalın basal membranlı, çeşitli oluşum evresinde tübüler (*) ve lümenleri olmuşmuş, ince basal membranlı yeni proksimal tübüler (YT) gözlenmektedir. PAS+HI, X 40.



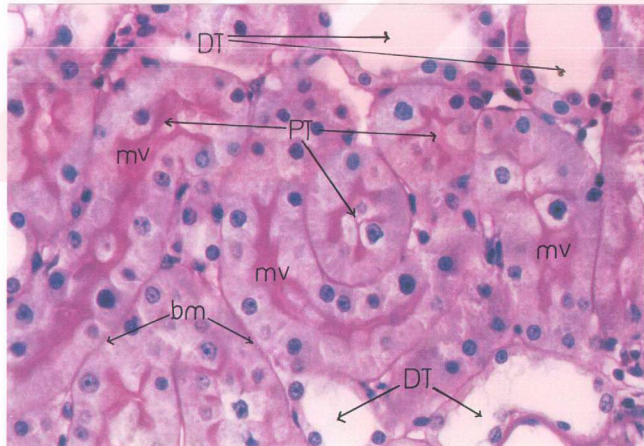
Resim 31: Korteksten geçen kesidimizde; normal çap ve görünümde Malpighi cisimcikleri (mc) ile genişlemiş tübüller (GT) gözlenmektedir. Masson, X 20.



Resim 32: Damar boyunca görülen infiltrasyon bölgesinde, kalın bazal membranlı, çok sayıda yeni tübul oluşumları (YT), tübül hücre toplulukları (*) ve bu sahaya yakın proksimal (PT), distal tübüller (DT) gözlenmektedir. Malpighi cisimcigi: mc. Masson, X 40.



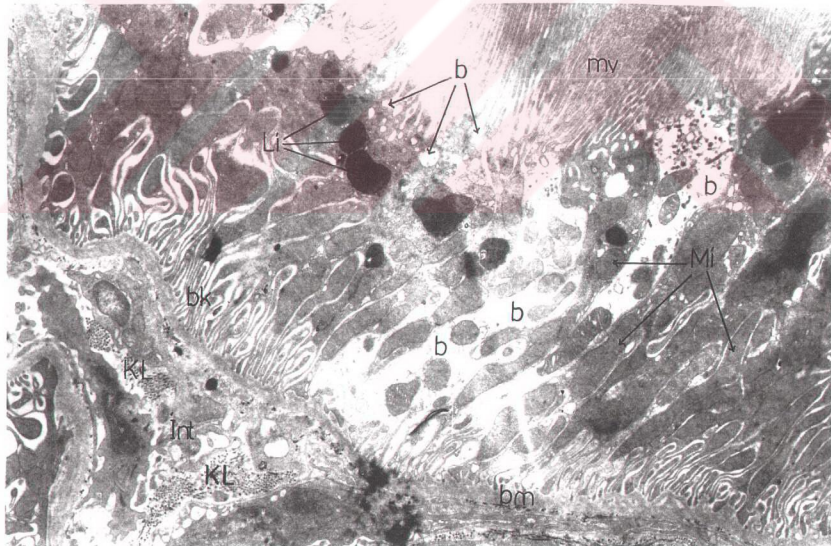
Resim 33: Normal görünen bir Malpighi cisimciğinde; ince bir basal membran üzerine oturmuş pariyetal yaprak hücreleri (pa) ve fırçamsı kenarlarında hafif bir bozulmanın görüldüğü proksimal tübüller (PT) izlenmektedir. Endotel: En, podosit: po, mesangial hücre: me, distal tübüller: DT. PAS+HI, X 40.



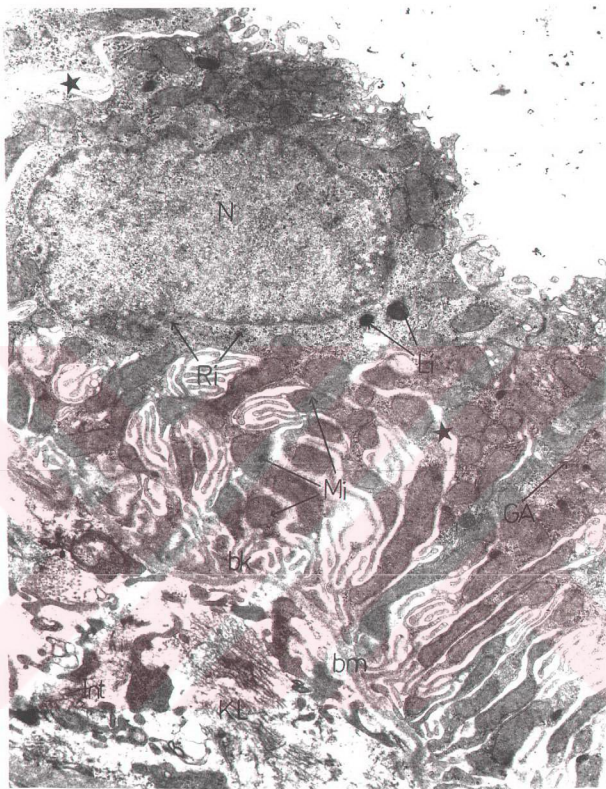
Resim 34: Oldukça normal görünümde proksimal (PT) ve distal tübüllere (DT) rastlanmaktadır. Bazal membran: bm, fırçamsı kenarlar: mv. PAS+HI, X 40.



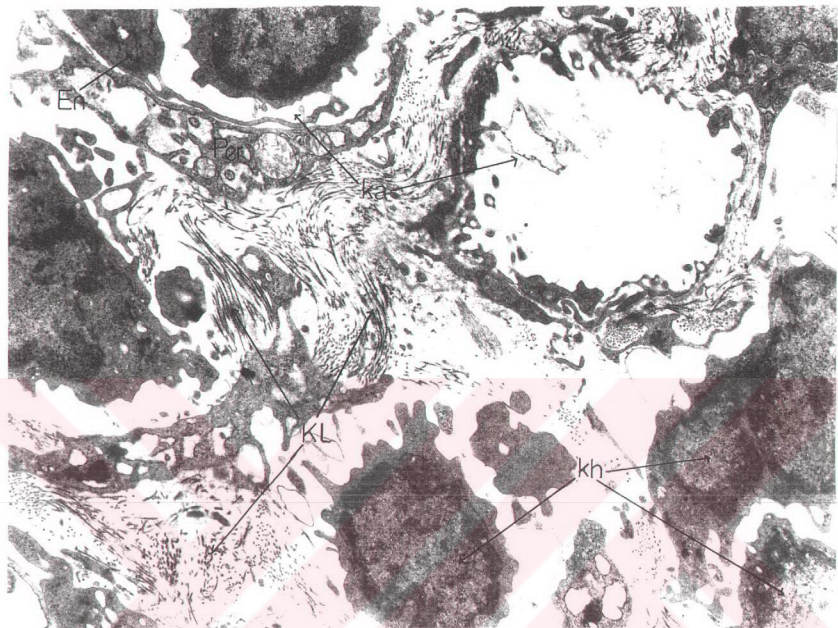
Resim 35: Glomerülden geçen kesitte, doublelenmiş (dbm) ve bazı yerlerde kalınlaşmış ancak genelde düzenli ortak bazal membran (obm) üzerine oturan, podosit (po) pedisellerinin (pe) ve endotel (En) fenestratalarının (fe) yer yer kaynaşıkları, fakat çoğunlukla düzenli periyodisiteye sahip oldukları gözlemlenmiştir. Fenestra kaynaşması: (↔), pedisel kaynaşması: →, eritrosit: Er. Uraniil asetat- Kurşun sitrat, X 4000.



Resim 36: Basal membranı (bm) yer yer kalınlaşmış, firçamçı kenarının (mv) sitoplazmadan ayrılp apikal bölgede bir takım boşlukların (b) oluşu gözünen, tabanda düzenli basal katlanıtlara (bk) ve normal kristal, oval mitokondrilere (Mi) sahip normal proksimal tübül hücrelerinin yanı sıra, sitoplazma konsentrasyonunu kaybederek yer yer boşlukların oluşu (b), hücre organelleri ve basal labirenti bozulmuş hücrelere rastladık. Lizozom: Li, intersitisyel bağ dokusu: Int, kollajen lifleri: KL. Uraniil asetat- Kurşun sitrat, X 4000.

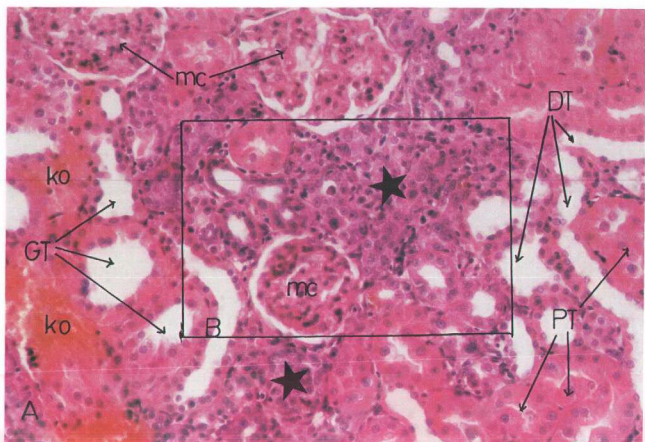


Resim 37: Apikal sitoplazmasında koppaların, hücre komşuluklarında genişlemelerin (*) görüldüğü distal tübüllü hücrende, bazal katınlıların (bk) bozulmakta, mitokondri (Mi) kristallerinin silinmeye olduğu gözlenmektedir. Bazal membran: bm, nükleus: N, ribozomlar: Ri, Golgi aygıtı: GA, lizozom: Li, intersitisel bağ dokusu: İnt, kollajen lifleri: KL. Uranil asetat- Kurşun sitrat, X 5000.

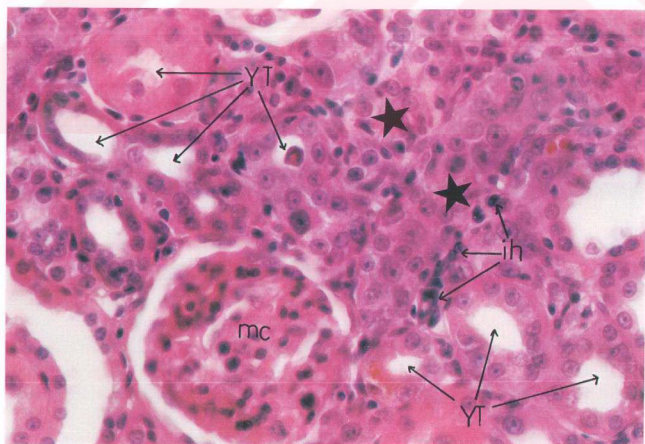


Resim 38: İntersitisyal bağ dokunun görüldüğü kesitte; kapilerleri (ka) oluşturan yapıların büyük ölçüde zarar gördüğü, kanama odakları nedeniyle çeşitli kan hücrelerinin (kh) damar dışına çıktığı ve kollajen lif (KL) miktarının artışı gözlenmektedir. Endotel: En, peristik: Per. Uranil asetat- Kurşun sitrat, X 5000.

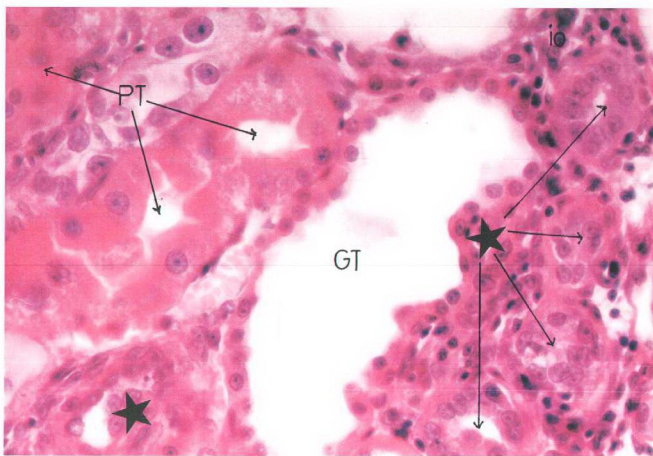
IV. GRUP DENEKLERİMİZE AİT İŞIK VE ELEKTRON MİKROSKOPİK GÖZLEMLER



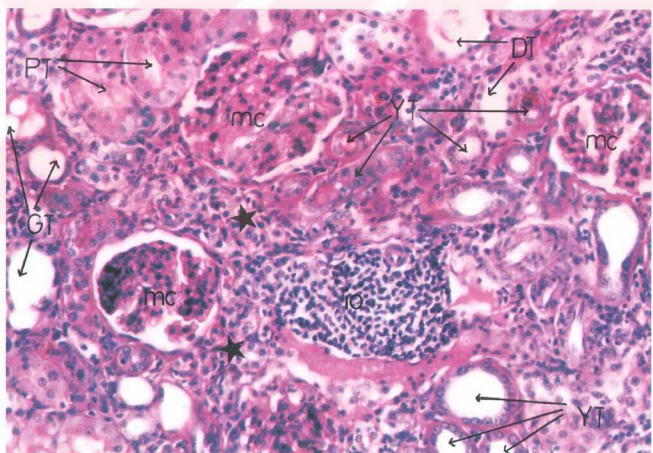
Resim 39: Infiltrasyon sahasında, normal görünümülü Malpighi cisimcikleri (mc), proksimal (PT) ve distal tübüller (DT) ile az sayıda, hafif genişlemiş tübüllere (GT), olusmakta olan tübul hücre topluluklarına (*) ve oldukça ender görülen kanama odaklarına (ko) rastlandı. H+E, X 20.



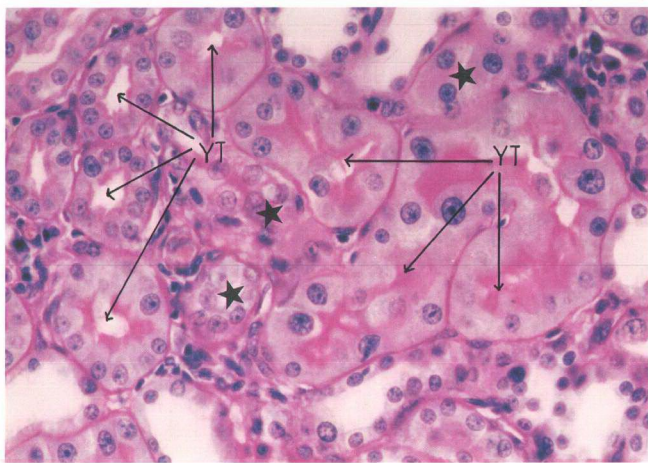
Resim 40: 39/b nin büyük büyütmesinde bir Malpighi cisimciğine (mc) yakın yerleşmiş çok sayıda yeni tübul hücre toplulukları (*) ve lümenleri açılmış, kalın basal membranlı yeni proksimal tübüller (YT) gözlenmektedir. İnfiltasyon hücreleri: ih. H+E, X 40.



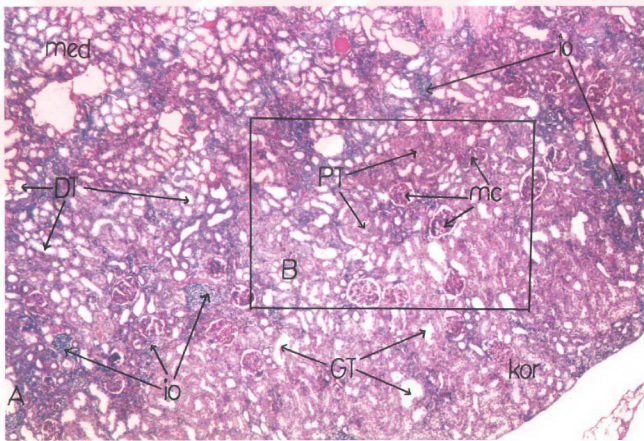
Resim 41: İnfiltasyon sahasında (io), çeşitli evrede tübul oluşumları (*), normal yapılı proksimal tübüler (PT) ve genişlemiş bir distal tübül (GT) gözlenmektedir. H+E, X 40.



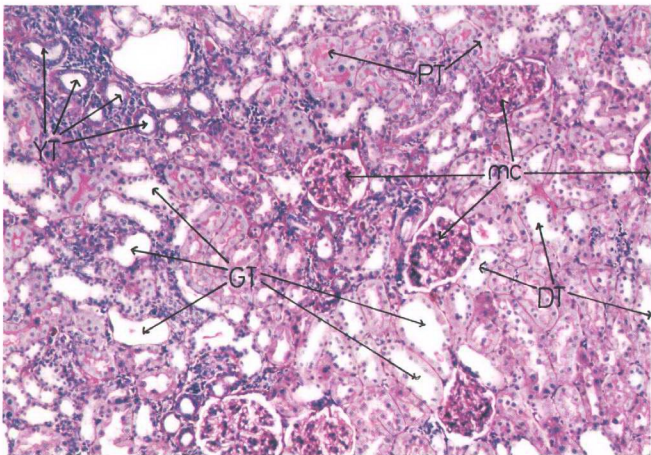
Resim 42: İnfiltasyon sahasında (io), bazal membranı kalınlaşmış Malpighi cisimcikleri (mc), çeşitli evrede tübul oluşumları (*), yer yer genişlemiş tübüler (GT) ve oldukça normal görünümde proksimal (PT), distal tübüler (DT) izlenmektedir. Yeni tübul oluşumları: YT. PAS+HI, X 20.



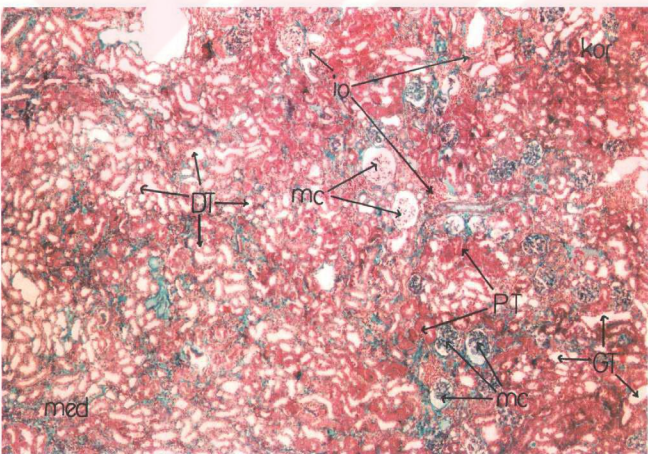
Resim 43: İnfiltasyon sahası içinde, tüber hümre toplulukları (*), lümenleri henüz açılmış ve daha ileri aşamadaki yeni proksimal tüberller (YT) gözlenmektedir. PAS+HI, X 40.



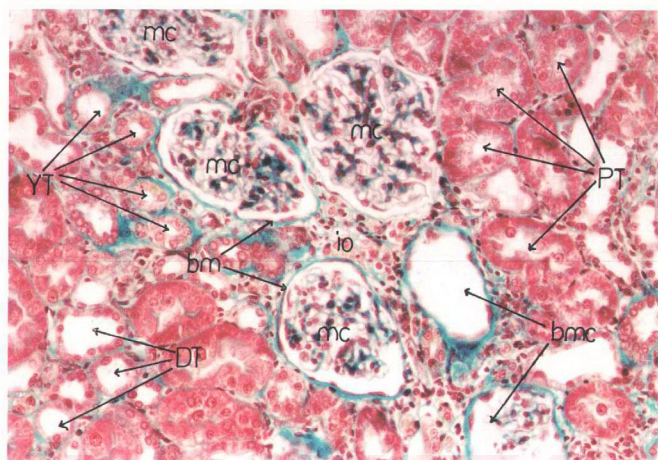
Resim 44: Geniş bir korteks (kor) ve kortikomedüller bölgeden geçen bu kesitte; sayıları azalmış infiltasyon odaklarına (io), bu odakların yakınlarında, farklı ölçüde genişlemiş tüberlere (GT), odaklar arası sahalarда normal görünümülü Malpighi cisimciklerine (mc), proksimal (PT) ve distal tüberlere (DT) rastladık. Medülla: med. PAS+HI, X 40.



Resim 45: 44/b nin büyük büyütmesinde; infiltrasyon odağında, basal membranları hafif kalınlaşmış Malpighi cisimciklerinin (mc) yanısıra, çeşitli evrede tübül oluşumları (YT), genişlemiş tübüler (GT) ve oldukça normal görünümülü proksimal (PT) ve distal tübülere (DT) izlenmektedir. PAS+HI, X 10.



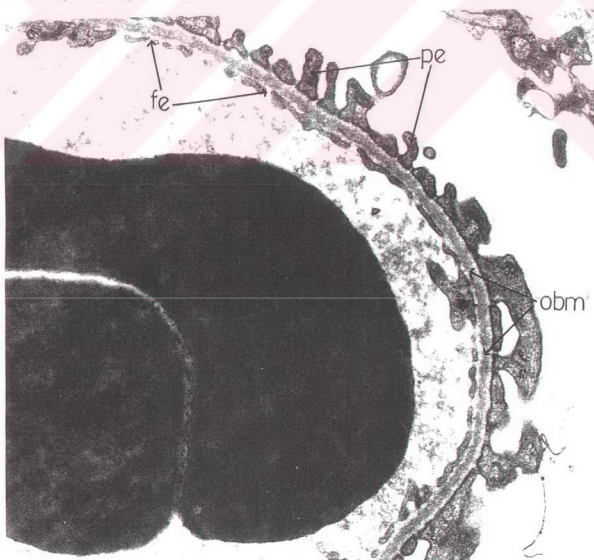
Resim 46: Korteks (kor) ve medulladan (med) geçen bu kesitte; yer yer infiltrasyon sahalarına (io) ayrıca, kortikomedullar bölgede normal sayı ve görünümülü Malpighi cisimciklerine (mc), proksimal (PT) ve distal tübülere (DT) ve hafif ölçüde genişlemiş tübüllere (GT) rastladık. Masson, X 4.



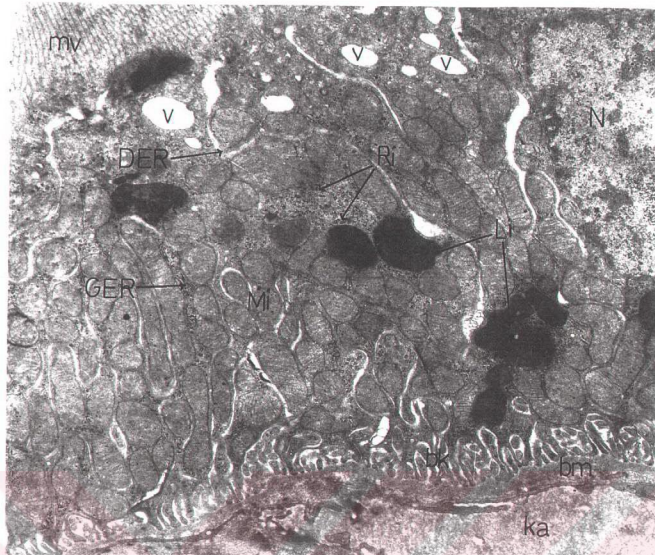
Resim 47: İnfiltasyon bölgesinde basal membranı (bm) kalınlaşmış veya glomerüler yapısı bozulmuş Malpighi cısimciklerinin (bmc) yanısıra, yeni tübül oluşumları (YT), bu bölge dışında normal yapılı proksimal (PT) ve distal tübller (DT) gözlenmektedir. Masson, X 20.



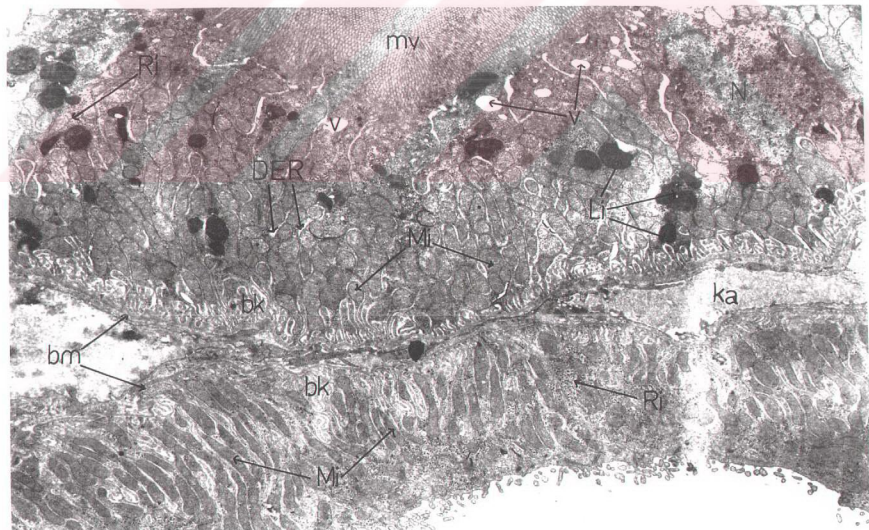
Resim 48: Glomerülden geçen kesitte; dublelmış basal membran (dbm) üzerinde oturan pariyetal yaprak hücresinin (pa) sitoplazmasında, vakuoller (v) ve hasarlanmış mitokondrleri (Mi) gözlenmektedir. Hafifçe kalınlaşmış ortak basal membran (obm) üzerine oturan podosit (po) pedisellerinin, endotel fenestratalarının (fe) periyodisitesinin çoğulukla düzenli olup, ancak yer yer pedisellerde kaynaşmalar (→) izlenmektedir. Eritrosit: Er. Uranil asetat- Kurşun sitrat, X 4000.



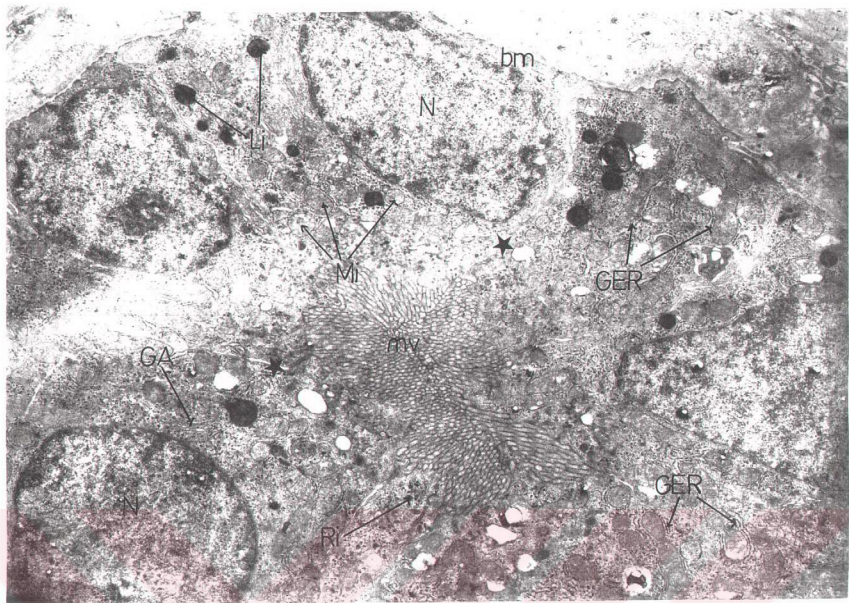
Resim 49: Filtrasyon seddi basal membranı (obm) üzerinde, oldukça düzenli periyodisiteye sahip pedisel (pe) ve fenestrataların (fe) yer aldığı gözlenmektedir. Uranil asetat- Kurşun sitrat, X 10000



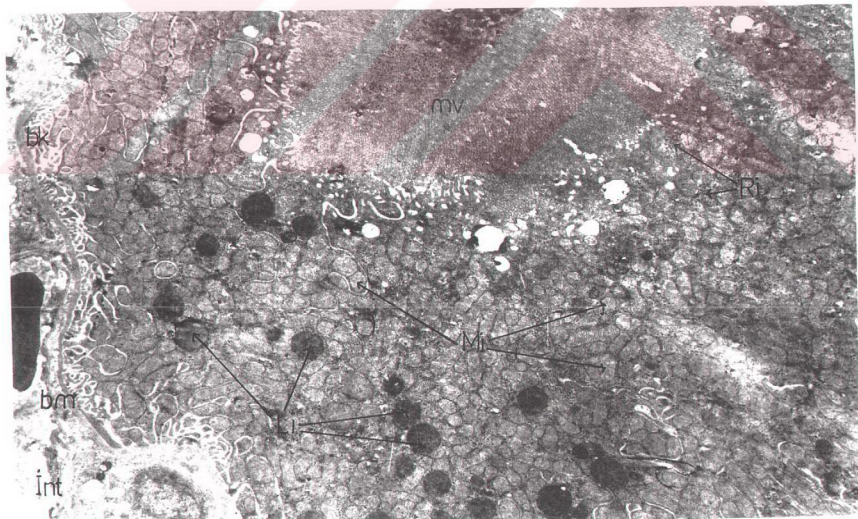
Resim 50: Normal firçamı kenarlı (mv), bazal membranında (bm) zaman zaman opak madde birikimi görülen proksimal tübül hücrende, mitokondrilere (Mi), farklı çap ve şekilde lizozomlara (Li), serbest ribozomlara (Ri) ve normale oranda boyu kısalmış bazal katlanıtlara (bk) rastlanmaktadır. Vakuol: v, düz: DER ve granüler endoplazmik retikulum: GER, kapiler: ka, nükleus: N. Urani asetat- Kurşun sitrat, X 5000.



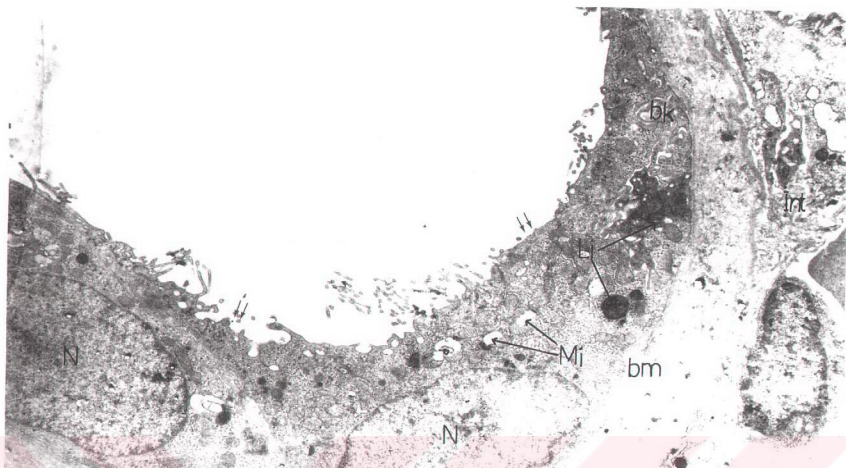
Resim 51: Düzenli bazal membran (bm) üzerinde yer almış, proksimal ve distal tübül hücrelerinde, apikal yüzlerinin ve bazal katlanıtlarının (bk) görünümünün düzenli olduğu izlenmektedir. Ayrıca tübülerin diğer hücre organelleri dışında, çeşitli büyüklükte lizozomların (Li) ve bazı vakuollerin (v) yer aldığı görülmektedir. Mikrovilli: mv, mitokondri: Mi, ribozom: Ri, nükleus: N, kapiler: ka. Urani asetat- Kurşun sitrat, X 2500.



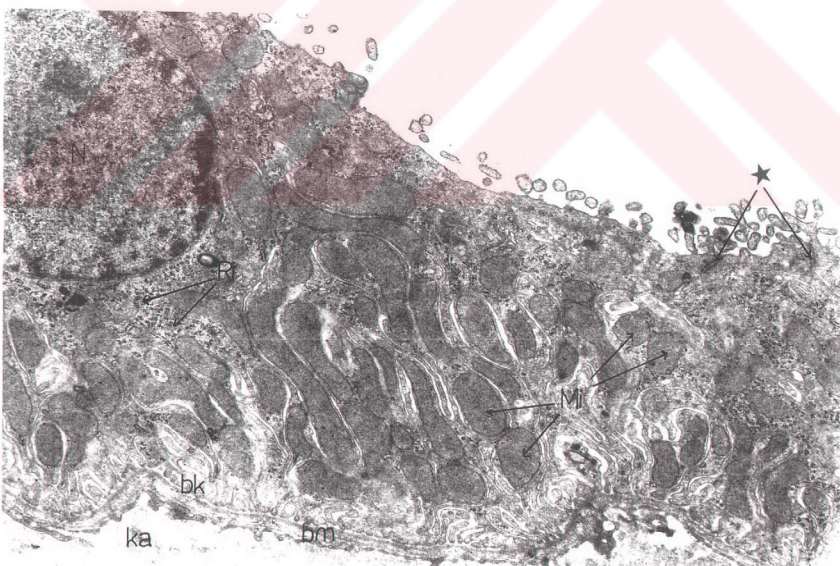
Resim 52: Fırçamı kenarı (mv) oluşturmaktaki, bazal katlanıları henüz ortaya çıkmamış, proksimal tübül oluşturan hücre topluluklarının, teşekkür etmekte olan bağlantı komplekslerine (*), iyi gelişmiş granüllü endoplazmik retikulumu (GER), serbest ribozomlara (Ri), oval mitokondri (Mi), Golgi aygıtı (GA) ve birkaç lizozoma (Li) rastladık. Nukleus: N, basal membran: bm. Uranil asetat- Kurşun sitrat, X 4000



Resim 53: Gelişiminin daha ileri evresindeki bir proksimal tübilde; yoğunlaşmış basal membran (bm) üzerinde, bazal katlanıların (bk) ortaya çıktığı, fırçamı kenarın mikrovilli (mv) sayısının arttığı, hücrelerin çok sayıda mitokondri (Mi), farklı çap ve içerisinde lizozom (Li), serbest ribozomları (Ri) içерdiği görülmektedir. İntersitisel bağ dokusu: Int. Uranil asetat- Kurşun sitrat, X 5000



Resim 54: Genişlemiş bir distal tübülde; hücre apikal çıkıntılarının döküldüğü (—), basal katınlılarının (bk) düzleştiği, basal membranın (bm) yoğunluğunu kaybederek sileştiği gözlenmektedir. Hücre sitoplazmalarında; şişkinleşerek kristallarını kısmen veya tamamen kaybetmiş mitokondriler (Mi) izlenmektedir. Nukleus: N, lizozom: Li, intersitusiyel bağ dokusu: Int. Uraniyl asetat- Kurşun sitrat, X 3000



Resim 55: Komşu distal tübül hürelerinden baskıya uğrayarak boyu kısaltılmış olan hücrenin, basal katınlıarda (bk) kısalma ve mitokondrilerde (Mi) hafif bir şişkinleşme izlenmektedir. Basal membran: bm, lateral bağlantı kompleksleri: *, nükleus: N, ribozom: R, kapiler: ka. Uraniyl asetat- Kurşun sitrat, X 6000.

5. TARTIŞMA

Rosenberg ve arkadaşları tarafından, 1965 yılında, antibakteriyel ve antineoplastik etkili oldukları keşfedilen platin bileşikleri,^{10,30} ağır metallerinden dolayı nefrotoksisiteye sahip antitümöral ajanlar olarak bilinirler.⁶⁸

Cisplatin, 1970'lerde tanıtıldığından bu yana, çeşitli tümöral tedavilerde sıkılıkla kullanılan, oldukça etkili kemoterapötik ajanlardan biri olmuştur.^{2,16} Ancak, doza bağlı olarak ortaya çıkan nefrotoksik etkisinden dolayı, kullanım alanı sınırlıdır.^{2,3,7,11,14-18,68,69} Renal toksisitenin, tek doz 50 mg/kg cisplatin alan hastaların %28-36'sında meydana geldiği ileri sürülmüştür.⁹

Hannemann ve arkadaşları; cisplatinin böbreğe girip, hücreler içine alındıktan sonra değişikliğe uğrayarak, nefrotoksik hale geldiğini göstermişlerdir.⁸ Verschraagen ve arkadaşları; cisplatinin hücre içinde hidrolize olduğunu, bu hidroliz ürünlerinin de nükleer targetleri olan DNA ile etkileştiğini, bu nedenle de hidrate cisplatinin nefrotoksisitede büyük rol oynadığını göstermişlerdir.¹³

Antikanseröz ilaçların DNA'yı hasarlama mekanizmaları, DNA'nın normal mekanizmasında substrat olarak rol oynayan; şeker ve fosfat iskeletindeki değişiklikleri, alkillemeleri, çapraz ve DNA bağlanması içerir.⁷⁰

Cisplatinin böbrek fonksiyonlarını ne yolla bozduğu tam olarak anlaşılamamıştır.^{7,13,21,71} Ancak; bu toksisitede, birden fazla olayın rol aldığı düşünülmektedir.

Antitümöral aktivite için, cisplatinin hücrede DNA'ya bağlanması gereklidir. Cis ve trans-platinlerinin her ikisinin de, DNA'yla zincir içi, zincirler arası çapraz bağlar ve DNA-protein çapraz bağları oluşturmamasına karşın, sadece cis izomeri, komşu iki guanin bazının 7. azot atomları arasına bağlanarak, DNA'yla zincir içi çapraz bağ oluşturur ki bu olay, cisplatinin antitümöral etkisi için gereklidir. Bu nedenle, tüm antikanseröz platin bileşikleri cis şeklindedir.^{33,72,73} Cisplatinin antitümöral etki mekanizması; bifonksiyonel alkilleyici ajanlarda olduğu gibi, hücrede DNA'yla platinin kovalent bağlanmasıından kaynaklanır. DNA cisplatin etkileşimi, DNA-platin monoadduktlarının ve çeşitli bifonksiyonel adduktların ortaya çıkması şeklinde

görülür.^{30,35,72,74} Bu bağlanmalar, DNA replikasyon ve transkripsiyonunu engelleyerek, apoptozisi başlatır.^{7,9,30,33,35,70,75} Bununla birlikte, cisplatinin nefrotoksik etkisini, antitümöral etki mekanizmasına benzer mekanizmayla oluşturduğu henüz kesinlik kazanmamıştır.⁷

Bazı araştırmacılar, cisplatin nefrotoksitesinin, civa, bakır, kadmium, kurşun gibi ağır metal nefrotoksitesine benzediğini, bu nedenle cisplatin nefrotoksitesinin, platin molekülüne bağlı olduğunu düşünmektedirler.^{7,11,76-78} Cisplatindeki platin; protein, nükleik asit, glutatyon (GSH) ve metallothioninin tiyol (-SH) grupları gibi, sülür içeren gruplara yüksek afinite gösterir.^{7,9,71,77,79} Cisplatin; yapısındaki platin molekülünün, nükleik asitlerdeki -SH gruplarına bağlanması nedeniyle, DNA'ya bağlanarak, DNA sentezini bozar.^{7,9} Aynı şekilde, bazı taşıyıcı proteinlerin ve enzimlerin -SH gruplarıyla kovalent bağlar oluşturarak, Na⁺/glukoz taşıyıcı sistemini ve Na⁺-K⁺-ATPaz'ın aktivitelerini inhibe eder.^{71,78,79} Meyer ve Medias; nükleofilik sülür içeren bazı bileşiklerin, cisplatin nefrotoksitesini sınırladığını ve in vitro çalışmalarda, klor iyonu bileşikten ayrıldıktan sonra, sülürün bileşikle kovalent bağ oluşturduğunu, böylelikle ilaç ettiğini gözlemişlerdir.⁹ Ancak; nefrotoksitesinin önlenmesinde; sistamin, penisilamin ve N-asetilsistein gibi -SH koruyucu ajanların yetersizliği, bu mekanizmanın tek başına cisplatin nefrotoksitesinden sorumlu olamayacağını gösterir.^{68,76}

Cisplatin nefrotoksitesi üzerindeki bir diğer teori de; cisplatin toksitesinin patogenezinde, mitokondriyal hasarın önemli rol oynamasıdır.^{9,68,76,80,81} In vivo ve in vitro çalışmalarda, cisplatinin böbrekteki başlıca hedeflerinden birinin de mitokondriyal DNA olduğu gösterilmiştir.^{9,76,80,81}

Diğer taraftan, cisplatin nefrotoksitesinin patofizyolojisinde, oksidatif stresin önemli rol oynadığı kabul edilmektedir. Bu teoriyi destekleyen, çok sayıda in vivo ve in vitro çalışmalar mevcuttur.^{4,20,21,82-84} Cisplatinden ileri gelen nefrotoksite, böbrek dokusunda ortaya çıkan lipid peroksidasyon artışıyla sıkı bir şekilde ilişkidedir.^{3,8,22,23,85} Bu antitümöral madde; süperoksit iyonu ve hidroksil radikalı gibi aktif oksijen türlerini üreterek ve renal dokuda antioksidan enzimleri (süperoksit dismutaz, katalaz, glutatyon peroksidaz) inhibe ederek, nefrotoksite oluşturur.^{3,22-27,82,84}

Baud ve Ardaillou; tübüler epitelial hücrelerin oksidatif hasardan direkt olarak etkilendiğini göstermişlerdir.⁸⁴

Deney hayvanları üzerinde yapılan çalışmalarda; cisplatinin, özellikle proksimal tübülün S3 segmentinde hasar meydana getirdiği,^{7,34,68,76,77,80-82,86-88}, insanlarda ise daha çok distal tübül ve toplayıcı kanallarda etkili olduğu gözlenmiştir.^{9,14,34,88}

Cisplatin etkisi doza bağlıdır. İlk meydana gelen etkiler proksimal tübülerde olup, glomerüllerde ve distal tübülerde herhangi bir değişiklik gözlenmez. Meydana gelen bu değişiklikler reversibledir, ilacın kesilmesiyle normale döner.^{7,9,34,77,81} Ancak, yüksek doz verimi veya tekrarlanan uygulamalarda, hasarın şiddeti artarak, proksimal tübülerin yanısıra, distal tübüler, glomerüller ve hatta intersitisyal bağ dokuda da bazı değişiklikler meydana gelir.^{4,7,14,68,69,86,89}

Böbreklerde, morfolojik değişiklıkların, çoğunlukla kortikomedüller bölgede ortaya çıktığı gözlenmiştir.^{7,9,17,76}

Kronik cisplatin uygulamasıyla ortaya çıkan nefrotoksisitede, tedaviye antioksidan ajan olarak E ve C vitaminleri eklenmesinin, cisplatinin meydana getireceği hasarları ne yönde ve ne ölçüde değiştireceğini görmek amacıyla yaptığımız bu çalışmada; kontrol grubu dışında kalan deneklerin böbrek korteksinde cisplatinin meydana getirdiği hasarları;

1-Malpighi cisimcikleri üzerindeki hasarlar,

2-Tübüler üzerindeki hasarlar,

3-İntersitisyal bağ doku hasarları olarak grupladık ve bu hasarların ortaya çıkış nedenlerini açıklamaya çalıştık.

1- Malpighi cisimcikleri Üzerindeki Hasarlar

Cisplatin nefrotoksisitesi üzerinde yapılan çalışmalarda, ilacın etkin dozunun, kısa süreli (1-30 gün) verimlerinde, Malpighi cisimcığında herhangi bir değişiklik gözlenmemiştir.^{7,14,23,86} Fakat ilacın kronik veya yüksek doz uygulamasıyla Malpighi cisimciklerinde değişiklikler saptanmıştır.^{7,14,69} Ayda bir kez olmak üzere, 3 ay cisplatin verdiğimiz deneklerin Malpighi cisimciklerinde değişikliklin ortaya çıktığını gözlemledik.

Glomerüller toksik ve immünolojik yolla zedelenirler. Buna karşın tübüler ve intersitisyal bağ doku elemanları toksik veya infeksiyöz ajanların etkisiyle hasarlanırlar. Ancak böbrekte yapılarının birbiriyle olan anatomik bağımlılığı nedeniyle, birinde oluşan hasar, sekonder olarak diğerlerini de etkiler. Örneğin; şiddetli glomerül zedelenmesi, peritübüler vasküler sistem akışını

azaltır. Buna karşın tübüler harabiyet, glomerüler basıncı artırarak, glomerülde atrofiye neden olabilir. Bu mekanizma; MacLeod ve arkadaşları tarafından “eksiksiz nefron teorisi” olarak açıklanmıştır.^{90,91}

Cisplatin en fazla proksimal tübülde hasar meydana getirir.^{7,34,68,76,77,80-82,86-88} Ancak yukarıda açıklandığı gibi bu hasar, glomerüllerin de etkilenmesine neden olur. Cisplatinin başlıca atılım yolu böbrekler olduğundan, bu atılımın ilk aşamasında glomerüler filtrasyon oluşturduğundan, cisplatininin glomerüllerde hasar meydana getirmesi şaşırtıcı değildir. Cisplatin uyguladığımız II. grup deneklerimizin ışık ve elektron mikroskopunda incelenen böbrek materyallerinde, kortikomedüller ve korteks bölgelerinde, en fazla damar çevresinde, infiltrasyon odaklarına yakın Malpighi cisimciklerinde, normal görünüm ve büyülüğün kaybolmasını buna bağladık.

Cisplatinin gerek filtrasyon esnasında glomerüler yapı elemanlarıyla direkt temas etmesinden, gerekse başta proksimal tübüler olmak üzere böbrek tübülerinde hasar meydana getirerek, glomerüler iç basınçta artış oluşturmalarından dolayı, glomerüler yapısı kısmen veya tamamen bozulmuş Malpighi cisimciklerinin ortaya çıktığını düşündük.

Özellikle arteria arkuatalara yakın Malpighi cisimciklerinin azalarak, yerlerini infiltrasyon hücrelerinin doldurması; bu cisimciklere gelen kanın cisplatinden daha yoğun olması, dolayısı ile hücrelerin daha çok hasar görmesinden kaynaklanmış olabilir.

Malpighi cisimciklerinin, parietal yaprak bazal membranında ve glomerüler bazal laminada kalınlaşma, glomerüler hücrelerde yapısal dejenerasyonların ortaya çıkış nedeninin, kanda bulunan cisplatinin hücrelerden açığa çıkardığı serbest oksijen radikallerine bağlı, vasokonstrktör biyoaktif lipidlerin (prostaglandin, tromboksan ve platelet aktivating faktör) salınımı ile, glomerüler kan akımı ve filtrasyonda meydana gelen azalmadan olabileceği düşünüldü.^{81,84} Afferent arteriolde vasokonstriksyon sonucu ortaya çıkan iskemi, Malpighi cisimcikleri içerisinde yer alan hücrelerin yeterince beslenememesine ve oksijensiz kalmasına neden olur; bunun yanı sıra, cisplatinden öncelikle etkilenecek yapılar filtrasyon seddini oluşturan yapılardır. Bu nedenle cisplatin, podositlerin pedisellerinde ve endotelin apikal sitoplazmasında kopmalara, pedisel ve endotel delikçikleri arasında periyodisite bozulmalarına yol açabilir. Podositler ve endotel hücreleri glomerülün bariyer fonksiyonunun korunması için önemli hücrelerdir. Podositler, pediselleri arasındaki filtrasyon yarıklarında yer alan diyafram ile proteinlerin süzülmesi için difüzyon bariyeri oluşturan ve özellikle müsterek bazal membranın

fonksiyon görebilecek kalınlıkta tutulmasından sorumlu hücrelerdir.⁹⁰ Podosit ile müsterek bazal membran oluşturan endotel hücresinde ortaya çıkan hasarlardan dolayı, filtrasyon seddini sağlıklı bir şekilde geçemeyen maddeler membranda birikerek, kalınlaşmalara yol açar.

Glomerüler filtrasyon bariyerini oluşturan podosit, endotel ve aralarındaki ortak bazal membranda meydana gelen morfolojik değişiklikler, proteinlere karşı membran permeabilitesinde artış ortaya çıkararak, fonksiyonel olarak proteinüriye yol açar. Nitekim bazı araştırmacılar proteinlerin cisplatine bağlı renal kaybını göstermiştir.^{18,87}

Cisplatin grubunda gördiğimiz pariyetal yaprak hücresi ve basal membranlarda görülen değişikliklerin nedeni, bu hücrelerin ultrafiltratta bulunan cisplatine maruz kalmalarından dolayı olabilir.

Cisplatin ile birlikte E vitamini verdigimiz III. grup ve C vitamini verdigimiz IV. grup deneklerde, bu antioksidanların cisplatinin aşağı çıkardığı serbest oksijen radikallerini süpürmesi sonucu, radikallerin meydana getirdiği lipid peroksidasyonu^{3,8,22,23} ve vasokonstriksyon^{81,84} kısmen engellenmiş olacağından, hasarlar da engellenme oranında azalmış olacak idi.

Ayrıca diğer araştırmacılar tarafından da gösterildiği gibi cisplatin, antioksidan enzimlerin aktivitelerinde inhibisyon oluşturarak, antioksidan defans sistemini bozar. Bu antioksidanların ilavesi ile bozukluğun dengelendiği, bu nedenle hasarların ortaya çıkışının da kısmen engellendiği kanısındayız.^{3,22-27,71,82,84,92}

2- Tübüller Üzerindeki Hasarlar

Böbrek korteksinde, değişikliklerin en fazla görüldüğü yapılar, proksimal tübüller idi. Nedeni, ilacın tüpler reabsorpsyon ve sekresyon işleminin bu kısımda yapılıyor olması ile açıklanabilir.^{14,34,75,80,81}

II. grupta, cisplatinin meydana getirdiği proksimal tübule ait değişiklikleri, dejenerasyon ve rejenerasyon şeklinde gözledik. Gerek dejenerasyon, gerekse rejenerasyon halindeki tübüller, genellikle kortikomedüller bölgede, infiltrasyon odakları içerisinde görülmekte, herhangi bir antioksidan madde verilmediği için de kortekse doğru yayılma göstermekte idi.

Tübüllerde meydana gelen morfolojik bozuklukların, daha çok kortikomedüller bölgede olmasının nedeni, bazı araştırmacılara göre; cisplatinin en fazla proksimal tübül hücre mitokondrionlarında birikmesi, mitokondrionların ise daha çok medulla-korteks sınırında yer

alan, proksimal tübülerin son kısmını oluşturan S3 segmentinde bulunmasıdır.^{9,76,80,81} Choei ve arkadaşları; böbrekte, platin konsantrasyonunun bölgeden bölgeye farklılık gösterdiğini, en fazla kortikomedüller bölgede, en az medullada olduğunu ve bu konsantrasyon dağılımının tübüler lezyonların daha ziyade kortikomedüller bölgede olmasıyla paralellik gösterdiğini gözlemişlerdir.⁷

Cisplatin iv yolla vücuda verildikten sonra, arteria renalis vasıtıyla böbreğe taşınır. Arteria renalis, ramus anterior ve posteriore, daha sonra da arteria segmentalis, arteria interlobarisler ve arteria arkuatalara geçer. Buradan arteria interlobularis ile arteriola afferenslere, glomerüler kapillerlere geçip, Bowman boşluğundan proksimal tübule geçer. Filtrasyondan sonra, proksimal tübül lümenindeki cisplatin ilk maruz kalan yapı, hücre membranlarıdır. Bu nedenle; ağır metal cisplatin, fırçamsı kenar membranlarına direkt olarak bağlanıp, fırçamsı kenar periyodisitesini bozar.^{77,87} Bu toksik etki; ışık ve elektron mikroskobunda gözlediğimiz; mikrovillus kayıp, boy kısalması gibi bozukluklara neden olur. Fırçamsı kenar hasarından dolayı emici yüzeyin azalması, absorpsyon ve sekresyon bozukluklarının ortaya çıkmasına yol açar. Ayrıca cisplatin, selüler ve subselüler membran bütünlüğünü bozarak, membran permeabilitesini artırır. Bu nedenle çeşitli iyonların transportunda bozukluk ortaya çıkar. Cisplatin nefrotoksitesinde aminoasitüri, glukozüri, proteinüri, poliüri, çeşitli katyon ve anyonların kaybı gibi semptomlar meydana gelir.^{10,34,77,87,88} Filtrat içerisinde bulunan proteinler, fırçamsı kenarların hemen altında yer alan pinositik veziküller ile hücre içine alınıp, lizozomlara taşınır. Burada parçanmaları sonucu aşağı çıkan aminoasitler, hücre tarafından yeniden kullanılır. Ancak cisplatin, apikal membran bütünlüğüne verdiği zarar nedeniyle veziküllerde bozukluk meydana getirdiğinden, filtrattaki proteinler emilemeyecek, idrarla atılır.

Filtrattaki glukoz, aminoasitler ve sodyum, proksimal tübül hücrelerinin bazal labirent membranlarında yer alan, Na^+/K^+ -ATPaz etkinliğine bağlı olarak emilirler. Geri emilim ile hücreye alınan cisplatin, hücresel yapılar ile etkileşir ve hücrede yapısal bütünlük bozulur. Proksimal tübül bazal labirenti ile ağır metal etkileşimi, bazal labirent kaybına ve parçalanmasına yol açar.⁷⁷ Bu hasarlardan dolayı, Na^+/K^+ -ATPaz etkinliği, dolayısıyla glukoz ve aminoasit geri emilimi azalır, idrara bu maddeler çıkar. Ayrıca cisplatindeki platin molekülü, -SH gruplarına olan afinitesinden dolayı, hücrede bazı taşıyıcı protein ve enzimlerin -SH gruplarıyla kovalent bağ yaparak, aktivitelerini inhibe eder, iyon transportunda bozulma ortaya çıkar.^{71,77,78,79}

İn vivo ve *in vitro* sonuçlar, cisplatinin proksimal tübül üzerindeki toksisitesinin temelinde mitokondriyal disfonksiyonun yattığını göstermektedir.^{9,68,76,80,81} Cisplatin enzim aktivitelerini bozarak, mitokondriyal oksidatif fosforilasyonu inhibe eder. Bu da ATP üretiminde azalmaya, dolayısıyla aktivitesi için ATP'ye ihtiyaç duyan, $\text{Na}^+ \text{-K}^+$ -ATPaz'ın inhibisyonuna yol açar.^{68,76,80,81} Cisplatin mitokondriyal DNA'yı hasarlayarak, bu hücre organellerinin ölümüne yol açar, çünkü; mitokondriyal DNA, sitokrom oksidaz ve ATPaz'ın altunitelerini içeren, bazı kritik mitokondriyal iç membran proteinleri için kod oluşturur. Mitokondriyal DNA hasarlandığında, mitokondriyal proteinlerin sentezi yapılamaz ve bu organellerin degredasyonuna neden olur.^{34,76,80} Elektron mikroskobunda gördüğümüz, mitokondriyal şişme, krista silinmeleri ve sayılarında azalma gibi morfolojik değişiklikler bu degredasyonlardır.

Genelde mitokondriler çok az hidrojen peroksit üretirler. Cisplatinin, oksidatif fosforilasyonu yarında kesmesi, bu radikalın üretimini artırır. Hasarlanan mitokondrilerden açığa çıkan hidrojen peroksit veya metabolitleri lipid peroksidasyonuna yol açar.^{20,80} Oksijen radikallerinin oluşturduğu lipid peroksidasyonu; membran bütünlüğünü bozar; hidrolitik enzimlere karşı lizozomal permeabilite artışı, mitokondriyal oksidatif fosforilasyon için elektron transport bozukluğuna ve hücrenin membran permeabilitesinde artışa neden olur. Bunlar ise apoptozisi başlatır ve hücre ölümeye gider.^{80,84} Aslında ortaya çıkan hidrojen peroksit katalaz ve glutatyon peroksidazın yüksek renal aktivitesinden dolayı renal hücrelerin oksidatif hasarına yol açmaksızın böbrekte metabolize edilir. Ancak cisplatin, enzim aktivitelerini inhibe ederek, bunu engeller.^{22-27,71,82,84,92}

Böbreklerde ortaya çıkan oksijen radikalleri, vazokonstriktör biyoaktif lipidlerin serbest bırakılmasına neden olarak, glomerüler kan akımında ve filtrasyonda azalma^{81,84} ile intersitisyal bağ dokuda yer alan, peritübüler kapiler duvarında daralma meydana getirir. Bu daralma, proksimal ve distal tübül hücrelerinin hem yetersiz beslenmesine hem de yetersiz oksijen alınımına yol açarak dejenerasyonlarına neden olabilir. Proksimal ve distal tübülerin bazal membranlarında kalınlaşma, sitoplasmalarında kayıp meydana gelmiştir. İlk etkilenen yapılar proksimal tübüler olmasına rağmen, tekrarlanan enjeksiyonlar sonucunda, hücrelerde cisplatin birikimine bağlı, distal tübülerde de hasar ortaya çıkmıştır.

Distal tübülerde göze çarpan en belirgin hasar; tübül lümenlerinin aşırı doluluk nedeniyle genişlemesi ve hücrelerinin basıdan dolayı yassılaşması idi. Gerek yüksek basıdan gerekse, cisplatinin hücreleri negatif etkilemesinden (elektron mikroskobunda görülen, tübül

hücrelerindeki vakuolleşme, mitokondri şişkinleşmeleri, krista silinmeleri, bazal katlantılarda azalma ve bozulma, bağlantı komplekslerinde açılalar gibi) ötürü, lümende parçalanmış veya dökülmüş hücrelere rastladık.

Işık mikroskobunda proksimal ve distal tübüllerde gözlenen bu değişiklikler, diğer araştırmacılar tarafından da desteklenmiştir.^{7,14,17,69,81,86}

Proksimal tübul hücrelerinin elektron mikroskobunda gözlenen vakuolleşmelerinin; hücre detoksifikasyonundan sorumlu düz endoplazmik retikulumun (DER), sitoplazmada cisplatin ve/veya metabolitlerini detoksifye etmek amacıyla sayısını artırması, ancak tekrarlanan cisplatin enjeksiyonları nedeniyle, organelde yorgunluğun başlayıp, yeterli olamaması, giderek gerilemesi, bunun ise vakuolleşmeler şeklinde görülmesi olarak açıklayabiliriz. DER'in gerilemesi ile hücrede biriken cisplatin, hem antioksidan enzimleri inhibe ederek hem de mitokondriyal disfonksiyona neden olarak, hücrede ileri derecede bozulmalar, hatta kopmalar meydana getirir. Lizozom sayılarındaki artış bu hücre dejenerasyonu sırasında ortaya çıkan artıkları yok etmek amacıyladır. Özellikle proksimal tübüllerde görülen bu değişikliklere bir çok çalışmada rastlanmıştır.^{4,14,21-23,69,76,77,80,86}

Genellikle infiltrasyon sahalarında görülen, epitelial hücre toplulukları, yeni proksimal tübülli oluşturmak üzere yan yana gelmiş olup, çevre intersitisyal bağ dokudan kalın bir bazal membran ile ayrılmışlardır.

Böbrek proksimal tübul hücreleri stabil hücre grubuna dahildir. Ancak, bazı ajanların indüksiyon etkisi ile köken aldıkları dokuyu yeniden oluşturabilirler. Normalde büyümeye siklusunun G₀ (dinlenme) fazında bulunan sağlam hücreler, parçalanmış epitel hücrelerinden aşağı çıkan epithelial growth faktör varlığında, uyarılarak G₁ fazına geçerler.^{53,93} Hücrelerin mitoza geçip, bölünmesini sağlayan bu mekanizmanın ise yeni tübul oluşumlarını ortaya çıkardığını düşünmektediriz.

Cisplatinle birlikte E vitamini alan III. grup deneklerin proksimal ve distal tübul hücrelerinin çoğunda, normale yakın bir düzen ve görünüm vardı; izlenen proksimal tübüllerin fırçamsı kenarlarında ise kısmi bir düzelleme gördük. Tübüler genişlemelerin büyülük ve sayılarında azalmanın yanı sıra dokuda çok sayıda yeni tübul oluşumları gözlenmeye idi.

Cisplatinle birlikte C vitamini alan IV. grup deneklerinde ise, hasarlar çok daha az olup, yeni tübul oluşumlarının infiltrasyon sahalarını doldurması sonucu infiltrasyon hücrelerine seyrek rastlanmaktadır.

Cisplatinle birlikte E ve C vitamini alan III. ve IV. grup deneklerde, hasarların daha az şiddete olması, bu antioksidanların, cisplatinin meydana getirdiği oksijen radikallerini temizlemesinden dolayıdır.

Lee ve arkadaşları; E vitamininin, lipoproteinleri oksidasyona dirençli hale getirdiğini, böylece intraglomerüler makrofaj infiltrasyonunun inhibe olarak, renal hasarın azaldığını ileri sürerler.⁹⁴

Bir çok çalışmada; cisplatinin meydana getirdiği lipid peroksidasyonunun ve histolojik değişikliklerin, C vitamini tarafından azaltıldığı biyokimyasal çalışmalar ile gösterilmiştir.^{3,22,24,26,82}

C vitamini veya ortaya çıkacak metabolitlerinin, direkt DNA adduktlarının oluşumunu inhibe etmek ve oksidatif stresi azaltmak suretiyle, cisplatinin meydana getirdiği DNA hasarını engeller.^{44,60,65,70,95} Böylece, C vitamini vücutta daha uzun süre etkili olabilmektedir.

Glutatyon, hücre detoksifikasyonundan soruńlu, nükleofilik sülür içeren bir bileşiktir. Yapısındaki sülür ile cisplatine kovalent şekilde bağlanarak, ilaçın inaktive eder. C vitamini, cisplatinin meydana getirdiği glutatyon tüketiminde, doza bağlı olarak bir koruma sağlar.²⁶ Buna karşın, Appenroth ve arkadaşları; E vitaminin cisplatinin etkilerini azalttığını fakat bu etkinin antioksidanın ikinci bir uygulamasıyla artmadığını göstermişlerdir.²⁸

Antunes ve arkadaşları; kemirgenlerde, C vitamininin cisplatinin meydana getirdiği kromozomal hasara karşı, *in vivo* antiklastojenik etkiye sahip olduğunu gözlemlemișlerdir.²⁹

Bu olaylar; cisplatin nefrotoksitesinde, C vitamininin E vitamininden daha fazla koruyucu etkiye sahip olduğunu göstermektedir.

3- İntersitisyal Baǵ Doku Hasarları

Cisplatin, kronik çalışmalarda, en önemli klinik problemlerden birini oluşturan, tubulointersitisel nefritis meydana getirir. Bu olay, tubulointersitisel fibrozisi takip eden, tübüler epitelial hücre hasarı ve infilamatör değişikliklerle karakterize edilir.^{7,14,69,96}

Akut cisplatin nefrotoksitesinde, intersitisyal değişikliklere rastlanmamakla birlikte, kanser hastalarında ve deney hayvanlarında, tedavinin tekrarlanması ile ağır tubulointersitisel fibrozisin meydana geldiği gösterilmiştir.^{7,14,69,89}

Cisplatinin neden olduğu intersitisyel değişikliklerin, doza ve zamana bağlı olarak artığını gösteren çalışmalar mevcuttur.^{7,14,96}

Çalışmamızda intersitisyel bağ doku değişikliklerine, özellikle sadece cisplatin verilen II. grup deneklerin, kortikomedüller ve korteks bölgelerinde rastladık. Bu değişiklikler; bozulmuş Malpighi cisimcikleri ve hasarlanmış tübüller etrafında gözlenen infiltrasyon hücre odakları, bağ doku alanları ve yer yer kanama odakları şeklinde idi.

Zedelenen dokunun onarımında, iki olay görülür; ya zedelenen hücre aynı tipte parankimal hücreler tarafından yenilenir veya bu yenilenmenin yetersiz kaldığı durumlarda, bağ doku zedelenen dokunun yerini alır.⁹³ Cisplatin grubunda görülen infiltrasyon odaklarının, en fazla kortikomedüller bölgede olmasının nedenini; cisplatinin, özellikle proksimal tübüllerin bu bölgesinde yer alan S3 segmentlerinde hasar meydana getirmesidir; hasarlanan hücrelerden çıkan epithelial growth faktör'ün sağlam hücreleri uyarması ile yeni tübüllerin oluşması, fakat tekrarlanan enjeksiyonlar karşısında bu yenilenmenin yetersiz kalıp, organizmanın savunma mekanizmasının devreye girerek, hasar bölgelerine kemotaksi yoluyla mononükleer veya polimorfonükleer hücreleri toplayıp, infiltrasyon saha veya odaklarını meydana getirmesi olarak açıklayabiliriz.

Blisard ve Harrington; intersitisyumdaki bu hücrelerin hem mononükleer hem de polimorfonükleer hücre olduğunu¹⁴, el-Shazly ve arkadaşları; mononükleer hücre (lenfosit) olduğunu¹⁷, Guinee ve arkadaşları da intersitisyumda dağılmış çok sayıda lenfositin bulunduğuunu⁶⁹ bildirmiştir.

Dokuda meydana gelen hasar bölgelerinden salınan büyümeye faktörleri (platelet kökenli büyümeye faktörü; PKBF, fibroblast büyümeye faktörü; FBF) ve sitokinlerin (interleukin-1; IL-1, tümör nekrozis faktör; TNF) kollajen yapısını uyarması sonucu, hasarlı bölgelerin bağ dokusu ile kapatıldığını düşünüyoruz. Onarımın erken evrelerinde, bağ dokunun önce proteoglikanları oluşur, sonra özellikle intersitisyel veya fibriller kollajenler olarak bilinen tip I, III ve V kollajenler hakim olur. İntersitisyel kollajenler, iyileşen bağ dokunun büyük bir kısmını oluşturur.⁹³

Razzague ve Taguchi'nin; çalışmalarında, cisplatin grubu deneklerin böbreklerinde, kontrole kıyasla tip I ve III kollajen miktarında artışın olduğunu ve bunların intersitisyumda birliği histokimyasal olarak gösterilmiştir.⁹⁶

Kanama odaklarında, cisplatinin meydana getirdiği serbest oksijen radikallerinin yol açtığı, vasokonstrüktör lipidlerin salınımıyla, peritübüler kapilerlerde oluşan daralma sonucu, damar içi basınç artışına bağlı olarak, endotelde ortaya çıkan hasar sonucu hücrenin bozularak parçalandığını ve kanın damar dışına çıktıığını düşünmektediriz.

Tedaviye antioksidanların eklenmesiyle, intersitisel bağ dokuda meydana gelen değişikliklerin, antioksidanların cisplatinin ortaya çıkardığı bozuklukları ortadan kaldırıldığı oranda azaldığını gözledik. Ancak, C vitamini verdigimiz IV. grup deneklerde, infiltrasyon sahalarının E vitamini alan gruptakilere oranla azaldığını gördük. Bunu, C vitamininin cisplatinin oluşturduğu DNA hasarlarını ortadan kaldırma ve serbest oksijen radikallerini süpürme işlemlerini, E vitaminine oranla daha fazla yapmasından kaynaklandığını düşünmektediriz. Ayrıca, C vitamininin kollajen sentezindeki fizyolojik rolünün de hasarların onarımını hızlandırdığı kanısındayız.

6. SONUÇ

Cisplatin verimiyle oluşturduğumuz nefrotoksisiteyi azaltmak amacıyla, E ve C vitamini uyguladığımız bu deneysel çalışmada; deney gruplarına ait böbrek korteks materyallerini incelediğimizde; Malpighi cisimcikleri, proksimal ve distal tübüller ile intersitisyal sahada morfolojik değişikliklerin meydana geldiğini gözledik.

Dokuda parankimanın bozulmasına ve yerini bağ dokununmasına neden olan bu değişiklikler, cisplatin alan II. grup deneklerinde oldukça şiddetli iken, cisplatinle birlikte E vitamini alan III. grup ve C vitamini alan IV. grup deneklerinde, bu antioksidanların cisplatinin meydana getirdiği serbest radikalleri ortadan kaldırması nedeniyle, minimal düzeyde gözledik. Ancak C vitamininin hem serbest radikalleri temizlemek hem de cisplatin-DNA adduktlarını önlemek suretiyle hasarları azaltmada E vitamininden daha başarılı olduğunu, bu nedenle hasarların daha da az ortaya çıktığını gördük.

Elde ettiğimiz bulgular ışığında, cisplatinle yapılan kemoterapide, tedaviye E ve C vitaminleri gibi antioksidanların eklenmesi ile, cisplatin nefrotoksisitesinin önemli ölçüde önlenebileceği kanısındayız.

Antikanseröz ajanların yüksek dozda veya uzun süreli uygulanması, böbrek gibi hayatı öne me sahip dokularda, oluşturdukları yan etkileri dolayısıyla kısıtlıdır. Bu nedenle, antikanseröz ajanların yan etkilerinin önlenmesi, kanserli hastaların tedavisinde önemli bir kliniksel olaydır. Çalışmamızda elde ettiğimiz sonuçlara göre, cisplatin gibi antitümöral ilaçlarla yapılan tedavilerde, tedaviye antioksidan eklenmesinin bu ilaçların yan etkilerini önemli ölçüde hafifleteceği düşündürmektedir.

7. ÖZET

Yüksek antitümöral aktivite gösteren cisplatin, platin koordinasyon komplekslerinin önemli bir sınıfını oluşturur. Antitümöral etkisini; DNA'yla zincir içi ve zincirler arası çapraz bağ yapmak suretiyle, sentezini bozarak gösterir. Ancak oluşturduğu nefrotoksisite ilacın kullanım alanını sınırlamaktadır.

Cisplatin nefrotoksisitesinde oksidatif stresin önemli rol oynadığı görülmüştür. Bu nedenle, cisplatin nefrotoksisitesini önlemeye yönelik çalışmalarda antioksidanlar önem kazanmıştır. Bu çalışmada; kronik cisplatin uygulamasıyla oluşturulan böbrek korteks hasarında, antioksidan olarak E ve C vitaminlerinin, morfolojik açıdan ne ölçüde koruma sağlayabileceği, ışık ve elektron mikroskopik düzeylerde incelendi.

Çalışmamızda; 24 adet Wistar albino erkek rattan, her biri 6 denek içeren, 1'i kontrol 3'ü deney olmak üzere, 4 grup oluşturduk. Kontrol dışındaki deney gruplarına 3 ay boyunca, ayda bir kez 5 mg/kg cisplatini iv yolla verdik. Cisplatin uygulamasından 24 saat önce deneklere, 6 saat arayla iki kez, 0.13 mg/kg deksametazonu im yoldan uyguladık. III. grup deneklere ilk cisplatin verimini takiben deney süresi boyunca her gün, im yolla 5 mg/kg E vitamini, IV. gruptakilere ise, im yolla, her gün 8 mg/kg C vitamini verdik. 3. ayın sonunda tüm deneklerin aynı bölgelerinden olmak üzere böbrek korteks materyalleri alarak, ışık ve elektron mikroskopik gözlemlerimiz için işlendirdik.

I. grup deneklerde; böbrek dokusunun normal ultrastrüktüre sahip olduğunu gördük.

II. grupta; çoğu Malpighi cisimcikleri normal görünüm ve büyülüğünü kaybetmiş olup, sayıları azalmış, glomerüler yapısı ise kısmen veya tamamen ortadan kalkmış idi. Ortadan kalkan cisimciklerin yeri, infiltrasyon dokusu tarafından doldurulmuştu. Bozulan Malpighi cisimciklerinde, pariyetal yaprak bazal membranı ve ortak bazal membranlarda kalınlaşma söz konusu idi. Ayrıca başta kortikomedüller bölge olmak üzere, tübüler genişlemelere ve tübüler hasarlara rastlandı. Genişlemeler distal tübillerde görülmekte olup, tübül hücreleri yassılaşmış idi. Proksimal tübillerdeki değişiklikler; dejenerasyon ve rejenerasyon şeklinde idi. Dejenerasyon; firçamsı kenarlarda bozulma, bazal membranlarda kalınlaşma, vakuolizasyon,

mitokondrionlarda şişme, kristalarda silinme, mitokondri sayısında azalma, lizozom sayısında artış şeklinde görülmekte idi. Bozulmuş tübüllerin yerindeki infiltrasyon odaklarında ise epitelial hücrelerin yeni tübülleri oluşturmak üzere toplandıkları görülmüyordu. İntersitisel bağ dokuda; genellikle damarların kontrakte olduğu, damar boyunca bir çok infiltrasyon odaklarının ortaya çıktığı gözlandı.

E vitamini alan III. grupta, cisplatinin yol açtığı hasarların azaldığı, C vitamini alan IV. grupta ise, hasarlarda gözlenen azalmanın yanı sıra, çeşitli evrede çok sayıda yeni tübülün oluşmakta olduğunu gördük.

Sonuç olarak; cisplatin uygulamasıyla yapılan kemoterapide, tedaviye antioksidanların eklenmesinin, cisplatinin meydana getirdiği nefrotoksiteseyi bir dereceye kadar önleyebileceğini düşünmektediyiz.

Anahtar Kelimeler: Cisplatin, nefrotoksitese, E vitamini, C vitamini, sığan.

8. SUMMARY

ULTRASTRUCTURAL EFFECTS OF VITAMIN E AND C ON CISPLATIN-INDUCED KIDNEY CORTEX DAMAGES.

Cisplatin that shows potent antitumoral activity forms one of the important class of platinum coordination complexes. It shows its antitumoral effect by making intra- and interstrand cross-links to DNA, by damaging its synthesis. However, its nephrotoxicity that it limits clinical use of drug.

It has been seen that oxidative stress has an important role in cisplatin nephrotoxicity. So, antioxidants have gained an importance in this study of preventing through cisplatin nephrotoxicity. In this study, in kidney cortex damage that has been obtained by applying chronic cisplatin, it has been examined how it can prevent at the point of morphologic as antioxidant vitamin E and C.

In our study, we formed 4 groups that 24 Wistar albino species of male rats that each of them includes 6 rats that 1 of them was control and 3 of them were tests. We administrated 5 mg/kg cisplatin by iv method once a month to the test groups except controls for three months. We applied to the tests 0.13 mg/kg dexametazone by im method twice in every 6 hours before 24 hours cisplatin application. We administrated 5 mg/kg vitamin E to the III. group tests everyday during the period of experiment after the first application of the cisplatin, moreover 8 mg/kg vitamin C by im method to the IV. group tests everyday. We took kidney cortex materials at the same parts of the whole tests at the end of the third month and we operated them for our observation of light and electron microscopic.

We have seen that; kidney tissue has normal ultrastructure in the I. group tests.

In the II. group; Malpighi corpuscles have lost normal appearance and size and we have seen that its numbers have reduced and its glomerular structure has disappeared totally or partly. The place of the disappeared corpuscles have been filled by infiltration tissue. It has become thicker in both parietal sheets and common basement membranes in destroyed Malpighi corpuscles. Moreover at the first corticomedullary region, we came across tubular dilations and tubular damages. These dilations have been seen in distal tubules and the tubular cells had

become flat. The changes in proximal tubules were seen as dejeneration and rejeneration. Dejeneration has seen as damages in the brush borders, thickening of basement membrane, vacuolization, swelling, reduce in the number, removal cristae in the mitochondrions and increasing in the numbers of lisosomes. It has seen that epithelial cells have came together to form new tubules in infiltration focus at the damaged tubules area. It has observed that generally the vessels become contracte, a lot of infiltration focuses appaered through the vessel in interstitial connective tissue.

We have seen that damages, which cisplatin caused, reduced in the III. group that received vitamin E and we have seen that a lot of new tubules found in different stages besides the reduction of observed damages in the IV. group that received vitamin C.

In conclusion, we have thought that the addition of antioxidants to the treatment can prevent the nephrotoxicity that caused by cisplatin at a special level, is chemotherapy applied by cisplatin.

Key Words: Cisplatin, nephrotoxicity, vitamin E, vitamin C, rat.

9. KAYNAKLAR

1. Kayaalp O. Kanser kemoterapisinin esasları ve antineoplastik ilaçlar. Rasyonel Tedavi Yönünden Tıbbi Farmakoloji Cilt 1. Ankara: Feryal Matbaacılık, 1998; 376-390.
2. Allan SG, Smyth JF. Small intestinal mucosal toxicity of cis-platinum-comparison of toxicity with platinum analogues and dexamethasone. *Br. J. Cancer.* 1986; 53(3): 355-360.
3. Antunes LM, Darin JD, Bianchi Nd. Effects of the antioxidants curcumin or selenium on cisplatin-induced nephrotoxicity and lipid peroxidation in rats. *Pharmacol. Res.* 2001; 43(2): 145-150.
4. Sener G, Satiroglu H, Kabasakal L, Arbak S, Oner S, Ercan F ve ark. The protective effect of melatonin on cisplatin nephrotoxicity. *Fundam. Clin. Pharmacol* 2000; 14(6): 553-560.
5. Kuntsal L. Cisplatin uygulanan sıçanlarda prostatta gözlenen morfolojik değişiklikler. *İst. Tıp. Mecmuası* 1997; 60(1): 57-62.
6. Kuntsal L, Canberk Y. Cisplatinin sıçan karaciğeri üzerine etkisinin ışık ve elektron mikroskopik düzeyde incelenmesi. *Trakya Üniversitesi Tıp Fakültesi Dergisi* 1996; 13(1-2): 1-6.
7. Choie DD, Longnecker DS, Del Campo AA Acute and chronic cisplatin nephropathy in rats. *Lab. Invest.* 1981; 44(5): 397-402.
8. Hannemann J, Baumann K. Cisplatin-induced lipid peroxidation and decrease of gluconeogenesis in rat kidney. *Toxicology* 1988; 51(2-3): 119-132.
9. Meyer KB, Madias NE. Cisplatin nephrotoxicity. *Miner. Electrolyte. Metab.* 1994; 20(4): 201-213.
10. Hardman JG, Limbird LE, Molinoff PB, Ruddon RW, Gilman AG, editors. Antineoplastic agents. Goodman & Gilman's The pharmacological basis of therapeutics. 9 th. United States of America: Company Mc Graw-Hill Companies, 1996; 1269-1271.
11. Kelsen DP, Alcock N, Young CW. Cisplatin nephrotoxicity. Correlation with plasma platinum concentrations. *Am. J. Clin. Oncol.* 1985; 8(1): 77-80.
12. Adler D, El-Tarras A. Clastogenic effects of cis-diamminedichloroplatinum. *Mutation Research* 1989; 211: 131-137.

13. Verschraagen M, Van der Born K, Zwiers UTH. Simultaneous determination of intact cisplatin and its metabolite monohydrated cisplatin in human plasma. *Journal of Chromatography B* 2002; 772(2): 273-281.
14. Blisard KS, Harrington DA. Toxicity of cis-pla-Diamminedichloroplatinum (II) in the Frog, *Rana pipiens*. *J. Comp. Path.* 1990; 103(4): 387-398.
15. Kuntsal L, Canberk Y, Petorak İ. The effects of cisplatin on the epithelium of rat intestine: a light and electron microscopic study. *Med. Bull. Istanbul* 1996; 29(1): 7-11.
16. Allan SG, Smyth JF, Hay FG, Leonard RC. Protective effect of sodium-2-mercaptopethanesulfonate on the gastrointestinal toxicity and lethality of cis-Diamminedichloroplatinum. *Cancer Research* 1986; 46(7): 3569-3573.
17. El-Shazly MO, Afify MM, el-Dieb MK. Histopathological study into side-effect toxicity of some drugs used in treatment of cancer. *Arch. Exper. Vet. Med.* 1989; 43(2): 319-326.
18. Erdlenbruch B, Grunewald RW et-al. Cisplatin nephrotoxicity in children after continuous 72-h and 3x1-h infusions. *Pediatr. Nephrol.* 2001; 16: 586-593.
19. Çitak A, Alpay H, Nayır A, Şirin A, Emre S, Tanman F ve ark. Antineoplastik ilaçlara bağlı böbrek yetersizliği. *İst. Tıp Mecmuası* 1995; 58(4): 116-119.
20. Nishikawa M, Nagatomi H, Nishijima M, Ohira G, Chang B, Sato E. Targeting superoxide dismutase to renal proximal tubule cells inhibits nephrotoxicity of cisplatin and increases the survival of cancer-bearing mice. *Cancer Letters* 2001; 171(2): 133-138.
21. Sugihara K, Nakano S, Koda M, Tanaka K. Stimulatory effect of cisplatin on production of lipid peroxidation in renal tissues. *Japan. J. Pharmacol.* 1987; 43(3): 247-252.
22. Gemba M, Fukuishi N. Amelioration by ascorbic acid of cisplatin-induced injury in cultured renal epithelial cells. *Contrib. Nephrol.* 1991; 95: 138-142.
23. Bompard G, Orfila C. Cisplatin nephrotoxicity in lead-pretreated rats: enzymatic and morphological studies. *Toxlet.* 1990; 50(2-3): 237-247.
24. Yam D, Peled A, Shinitzky M. Supression of tumor growth and metastasis by dietary fish oil combined with vitamins E and C and cisplatin. *Cancer. Chemother. Pharmacol.* 2001; 47: 34-40.
25. Sadzuka Y, Shoji T, Takino Y. Effect of cisplatin on the activities of enzymes which protect against lipid peroxidation. *Biochem. Pharma.* 1992; 43(8): 1872-1875.
26. Antunes LMG, Darin JDC, Bianchi MLP. Protective effects of vitamin C against cisplatin-induced nephrotoxicity and lipid peroxidation in adult rats: a dose dependent study. *Pharmacol. Res.* 2000; 41(4): 405-411.

27. Sadzuka Y, Shoji Y, Takino Y. Mechanism of the increase in lipid peroxide induced by cisplatin in the kidneys of rats. *Toxlet*. 1992; 62(2-3): 293-300.
28. Appenroth D, Frob S, Kersten L, Splinter FK, Winnefeld K. Protective effects of vitamin E and C on cisplatin nephrotoxicity in developing rats. *Arch. Toxicol.* 1997; 71(11): 677-683.
29. Antunes LM, Araujo MC, Darin JD, Bianchi Nd. Effects of the antioxidants curcumin and vitamin C on cisplatin-induced clastogenesis in Wistar rat bone marrow cells. *Mutation Research* 2000; 465(1-2): 131-137.
30. Jordan P, Carmo-Fonseca M. Molecular mechanism involved in cisplatin cytotoxicity. *Cell. Mol. Life. Sci.* 2000; 57: 1229-1235.
31. Kuntsal L. Cisplatinin sıçan ince barsak epitel tabakasına etkisinin ışık ve elektron mikroskopu düzeyinde incelenmesi. İstanbul Üniversitesi Tıp Fakültesi Histoloji ve Embriyoloji Anabilim Dalı Uzmanlık Tezi. İstanbul, 1994.
32. Cohen GL, Bauer WR, Barton JK, Lippard SJ. Binding of cis-and trans-dichlorodiammineplatinum (II) to DNA. Evidence for unwinding and shortening of the double helix. Vol 1979 *Science*, 203(4384): 1014-1016.
33. Olinski R, Wedrychowski A, Schmidt WN, Briggs RC, Hnilica LS. In vivo DNA-protein cross-linking by cis-and trans-diamminedichloroplatinum (II). *Cancer Research* 1987; 47(1):201-205.
34. Klaassen DC. Toxic responses of the kidney. Casarett and Doull's Toxicology. 5. th. United States: The Mc Graw Hill Componies, 1996; 437-439.
35. Welters MJP, Fichtinger-Schepman AMJ, Baan RA, Jacobs-Bergmans AJ, Kegel A, Braakhuis BJM et al. Pharmacodynamics of cisplatin in human head and neck cancer: correlation between platinum content, DNA adduct levels and drug sensitivity in vitro and in vivo. *Br. J. Cancer*. 1999; 79(1): 82-88.
36. Hinder RA, Stein HJ. Oxygen-derived free radicals. *Arch. Surg.* 1991; 126(1): 104-105.
37. Reiter JR. Functional aspects of the pineal hormone melatonin in combating cell and tissue damage induced by free radicals. *Eur. J. Endocrinol.* 1996; 134: 412-420.
38. Reilly PM, Schiller HJ, Bulkley GB. Pharmacologic approach to tissue injury mediated by free radicals and other reactive oxygen metabolites. *Am. J. Surg.* 1991; 161(4): 488-503.
39. Diplock AT. The role of antioxidants in clinical practice. *Br. J. Clin. Pract.* 1990; 44(7-8): 257-258.
40. Barber DA, Harris SRX. Oxygen free radicals and antioxidants: a review. *Am. Pharm.* 1994; NS34(9): 26-35.

41. Weijl NI, Osanto C and S. Free radicals and antioksidants in cheomotherapy-induced toxicity. *Cancer Treatment Reviews* 1997; 23(4): 209-240.
42. Cheeseman KH, Slater TF. An introduction to free radical biochemistry. *Br. Med. Bull.* 1993; 49(3): 481-493.
43. Akpolat M. Alkolün oluşturduğu serbest radikaller üzerine ibuprofen ve erusik asidin etkileri. Trakya Üniversitesi Sağlık Bilimleri Enstitüsü Deneysel Tıbbi Araştırma Bilim Dalı Yüksek Lisans Tezi. Edirne, 2000.
44. Dreher D, Junod AF. Role of oxygen free radicals in cancer development. *Eur. J. Cancer.* 1996; 32A(1): 30-38.
45. Elstner EF. Oxygen free radicals-biochemical basis for their efficacy. *Clin. Wochenschr.* 1991; 69(21-23): 949-956.
46. Basaga HS. Biochemical aspects of free radicals. *Biochem. Cell. Biol.* 1990; 68(7-8): 989-998.
47. Sies H. Strategies of antioxidant defense. *Eur. J. Biochem.* 1993; 215(2): 213-219.
48. Kayaalp O. Vitaminler. E vitamini. Rasyonel tedavi yönünden tıbbi farmakoloji cilt 2. Ankara: Hacettepe-Taş Kitapçılık, 1998; 1547-1550.
49. Halliwell B, Gutteridge JMC. Lipid peroxidation, oxygen radicals, cell damage, and antioxidant therapy. *The Lancet June* 1984; 23: 1396-1397.
50. Senyelli B. İtraperitoneal Mitomisin C ile geliştirilen deneysel kolitte antioksidanların etkisi. Trakya Üniversitesi Tıp Fakültesi İç Hastalıkları Anabilim Dalı Uzmanlık Tezi. Edirne, 1999.
51. Menteş G, Ersöz B. Biyolojik oksidasyon. Murray RK, Mayes PA, Granner DK, Rodwell WV, editors. Harper's Biyokimyası. 22. Baskı. İstanbul: Barış Kitabevi, 1993; 142-144.
52. Marcus R, Coulston AM. Vitamins. In; Gilman AG, editors. Goodman & Gilman's. The pharmalogical basis of therapeutics. 9 th. New York: Mc Graw-Hill Companies, 1996;1585-1590.
53. Uz YH. Siklosporin-A verilen sıçanların böbrek korteksleri üzerine E vitamini etkilerinin ışık ve elektron mikroskopik düzeylerde incelenmesi. Trakya Üniversitesi Tıp Fakültesi Histoloji ve Embriyoloji Anabilim Dalı Uzmanlık Tezi. Edirne, 2000.
54. Menteş G, Ersöz B. Yağda çözünen vitaminlerin yapı ve fonksiyonu. Murray RK, Mayes PA, Granner DK, Rodwell WV, editors. Harper's Biyokimyası. 22. Baskı İstanbul: Barış Kitabevi, 1993; 711-712.
55. Dökmeçi İ. Vitaminler. Farmakoloji-Temel kavamlar. İstanbul: Nobel Tıp Kitabevleri Ltd., 2000; 815-817.

56. Kayaalp O. Yağda çözünen vitaminler. E vitamini. Rasyonel tedavi yönünden tıbbi farmakoloji cilt 3. Feryal Matbaası Ankara 1997; 2890-2896.
57. Kayaalp O. Suda çözünen vitaminler. C vitamini. Rasyonel tedavi yönünden tıbbi farmakoloji cilt 2. Hacettepe-Taş Kitapçılık Ankara 1998; 1552-1555.
58. Padh H. Vitamin C: newer insights into its biochemical functions. *Nutrition Reviews* 1991; 49(3): 65-70.
59. Stryer L. Metabolism. Biochemistry. New York: W. H. Freeman and Company, 1996; 454-455.
60. Dökmeci İ. Vitaminler. Farmakoloji Temel Kavramlar. İstanbul: Nobel Tıp Kitabevleri Ltd., 2000; 808-810.
61. Carr A, Frei B. Does vitamin C act as a pro-oxidant under physiological conditions. *Faseb J* 1999; 13: 1007-1024.
62. Chan AC. Partners in defense, vitamin E and vitamin C. *Canada. J. Physiol. Pharm.* 1993; 71(9): 725-731.
63. Block G. Vitamin C and cancer prevention: The epidemiologic evidence. *Am. J. Clin. Nutr.* 1991; 53(1): 270S-282S.
64. Block G, Henson DE, Levine M. Vitamin C: a new look. *Annals of Internal Medicine* 1991; 114(10): 909-910.
65. Bancroft JD, Alan S. Theory an practice of histological techniques. Third Edition, Chunchill Livingstone Inc. New York 1990.
66. Gabe M. Les Principes Généraux de la technique histologique. Masson and Cie: Paris, 1968; 10-130.
67. Hayat MA. Principles and techniques of electron microscopy 1. Van Nostrand Reinhold Company, New York, 1970.
68. Daugaard G, Abildgaard U. Cisplatin nephrotoxicity. A review. *Cancer. Chemother. Pharm.* 1989; 25(1): 1-9.
69. Guinee DG Jr, Van Zee B, Houghton DC. Clinically silent progressive renal tubulointersitital disease during cisplatin chemotherapy. *Cancer Suplements* 1993; 71(12): 4050-4054.
- 70- Blasiak J Kowalik J. Protective action of vitamin C against DNA damage induced by selenium-cisplatin conjugate. *Acta Biochimica Polonica* 2001; 48(1): 233-240.
71. Bompard G. Cisplatin-induced changes in cytochrome P-450, lipid peroksidation and drug-metabolizing. *Toxlet.* 1989; 48(2): 193-9.

72. Galea MA, Murray V. The interaction of cisplatin and analogues with DNA in reconstituted chromatin. *Biochimica et Biophysica Acta* 2002; 1579(2-3): 142-152.
73. Bhat GS, Mishra S, Mei Y, Nie Z, Whitworth CA, Rybak LP. Cisplatin up-regulates the adenosine A₁ receptor in the rat kidney. *Eur. J. Pharmacol.* 2002; 442(3): 251-264.
74. Crul M, Waardenburg RCAM, Bocxe S, Eijndhoven MAJ, Beijnen JH, Schellens JHM. DNA repair mechanisms involved in gemcitabine cytotoxicity and in the interaction between gemcitabine and cisplatin. *Biochem. Pharmacol.* 2003; 65(2): 275-282.
75. Devarajan P, Savoca M, Castenada MP, Park MS, Esteban-Cruciani N, Kalinec G. Cisplatin-induced apoptosis in auditory cells: role of death receptor and mitochondrial pathways. *Hearing Research* 2002; 174(1-2): 45-54.
76. Singh G. A possible cellular mechanism of cisplatin-induced nephrotoxicity. *Toxicology* 1989; 58(1): 71-80.
77. Herak CM, Sabolic I and K. The integrity of renal cortical brush-border and basolateral membrane vesicles is damaged in vitro by nephrotoxic heavy metals. *Toxicology* 2001; 156(2-3): 139-147.
78. Bogin E, Marom M, Levi Y. Changes in serum, liver and kidneys of cisplatin-treated rats, effects of antioxidants. *Eur. J. Clin. Chem. Clin. Biochem.* 1994; 32(11): 843-851.
79. Potdevin S, Gautier FC, Sorbier BM, Ripoche P, Toutain HJ. Role of protein thiols in inhibition of sodium-coupled glucose uptake by cisplatin in renal brush-border membrane vesicles. *J. Pharmacol. Exp. Ther.* 1998; 284(1): 142-150.
80. Brady HR, Zeidel ML, Kone BC, Giebisch G, Gullans SR. *J. Pharmacol. Exp. Ther.* 1993; 265(3): 1421-1428.
81. Brady HR, Kone BC, Stromski ME, Giebisch G, Gullans SR. Mitochondrial injury: an early event in cisplatin toxicity to renal proximal tubules. *Am. J. Physiol.* 1990; 258(5 Pt 2): F1181-1187.
82. Sueishi K, Mishima K, Makino K, Itoh Y, Tsuruya, K, Hirakata H. Protection by a radical scavenger edaravone against cisplatin-induced nephrotoxicity in rats. *Eur. J. Pharmacol.* 2002; 451(2): 203-208.
83. Gemba M, Fukuishi N, Nakano S. Effect of N-N'-diphenyl-p-phenylenediamine pretreatment on urinary enzyme excretion in cisplatin nephrotoxicity in rats. *Japan. J. Pharmacol.* 1988; 46(1): 90-92.
84. Baud L, Ardaillou R. Involvement of reactive oxygen species in kidney damage. *Br. Med. Bull.* 1993; 49(3): 621-629.

85. Fukui N, Gemba M. Use of cultured renal epithelial cells for the study of cisplatin toxicity. *Japan. J. Pharmacol.* 1989; 50(2): 247-249.
86. Orfila C, Bompard G, Lepert JC, Suc JM, Girolomi PJ. Renal immunolocalization of kallikrein in cisplatin nephrotoxicity in rats. *Histochemical Journal* 1993; 25(10): 772-777.
87. Fleck Ch, Kretzschel I, Sperschneider T, Appenroth D. Renal amino acid transport in immature and adult rats during chromate and cisplatin-induced nephrotoxicity. *Amino acid* 2001; 20: 201-215.
88. Kanaka C, Oetliker OH; Bianchetti MG. Chronic cisplatin tubulopathy in humans and animals clear-cut discrepant findings. *Nephron* 1996; 59(4): 693-694.
89. Alfieri BA, Cubeddu LX. Role of NK₁ receptors on cisplatin-induced nephrotoxicity in the rats. *Naunyn-Schmiedeberg's Arch. Pharmacol* 2000; 361: 334-338.
90. Çevikbaş U, editör. Böbrek ve toplayıcı sistemi. Temel Patoloji. 6. Baskı. İstanbul: Nobel Tıp Kitabevleri, 2000; 439-469.
91. MacLeod PM, Tyrell CJ, Keeling DH. The effect of cisplatin on renal function in patients with testicular tumours. *Clinical Radiology*. 1988; 39(2): 190-192.
92. Doni MG, Falanga A, Delaini F, Vicenzi E, Tomasiak M, Donati MB. The effect of vitamin E or selenium on the oxidant-antioxidant balance in rats. *Br. J. Exp. Path.* 1984; 65: 75-80.
93. Çevikbaş U, editör. Onarım: Hücre Rejenerasyonu, Fibrozis ve Yara İyileşmesi. Temel Patoloji. 6. Baskı. İstanbul: Nobel Tıp Kitabevleri, 2000; 47-59.
94. Lee HS, Jeong JY, Kim BC, Kim YS, Zhang YZ, Chung KH. Dietary antioxidant inhibits lipoprotein oxidation and renal injury in experimental focal segmental glomerulosclerosis. *Kidney International* 1997; 51: 1151-1159.
95. Vissers CMM, Lee WG, Hampton MB. Regulation of apoptosis by vitamin C. *J. Biol. Chem.* 2001; 276(50): 46835-46840.
96. Razzague MS, Taguchi T. Localization of HSP47 in cisplatin-treated rat kidney: a possible role in tubulointerstitial damage. *Clin. Exp. Nephrol.* 1999; 3: 222-228.

10. RESİMLEMELER LİSTESİ

	Sayfa No
Şekil 1. Cisplatinin kimyasal yapısı.....	3
Şekil 2. E vitamininin kimyasal yapısı.....	7
Şekil 3. E vitamininin serbest olmayan radikalının yapısı.....	8
Şekil 4. Askorbik asit, askorbat, askorbil radikali, dehidroaskorbik asidin kimyasal yapısı.....	9
Resim 1. Kontrol grubu, H+E, X20.....	20
Resim 2. Kontrol grubu, H+E, X40.....	20
Resim 3. Kontrol grubu, PAS+HI, X40.....	21
Resim 4. Kontrol grubu, Masson, X40.....	21
Resim 5. Kontrol grubu, Uranil asetat- Kurşun sitrat, X4000.....	22
Resim 6. Kontrol grubu, Uranil asetat- Kurşun sitrat, X6000.....	22
Resim 7. Kontrol grubu, Uranil asetat- Kurşun sitrat, X8000.....	22
Resim 8. Kontrol grubu, Uranil asetat- Kurşun sitrat, X6000.....	23
Resim 9. Cisplatin grubu, H+E, X4.....	24
Resim 10. Cisplatin grubu, H+E, X10.....	24
Resim 11. Cisplatin grubu, H+E, X10.....	25
Resim 12. Cisplatin grubu, Masson, X10.....	25
Resim 13. Cisplatin grubu, Masson, X20.....	26
Resim 14. Cisplatin grubu, PAS+HI, X40.....	26
Resim 15. Cisplatin grubu, Azan, X40.....	27
Resim 16. Cisplatin grubu, PAS+HI, X40.....	27
Resim 17. Cisplatin grubu, Uranil asetat- Kurşun sitrat, X5000.....	28
Resim 18. Cisplatin grubu, Uranil asetat- Kurşun sitrat, X5000.....	28
Resim 19. Cisplatin grubu, Uranil asetat- Kurşun sitrat, X5000.....	29
Resim 20. Cisplatin grubu, Uranil asetat- Kurşun sitrat, X5000.....	29

Resim 21. Cisplatin grubu, Uranil asetat- Kurşun sitrat, X8000.....	30
Resim 22. Cisplatin grubu, Uranil asetat- Kurşun sitrat, X12000.....	30
Resim 23. Cisplatin grubu, Uranil asetat- Kurşun sitrat, X6000.....	31
Resim 24. Cisplatin grubu, Uranil asetat- Kurşun sitrat, X6000.....	31
Resim 25. Cisplatin grubu, Uranil asetat- Kurşun sitrat, X4000.....	32
Resim 26. Cisplatin grubu, Uranil asetat- Kurşun sitrat, X4000.....	32
Resim 27. Cisplatin+E vitamini grubu, H+E, X20.....	33
Resim 28. Cisplatin+E vitamini grubu, H+E, X40.....	33
Resim 29. Cisplatin+E vitamini grubu, PAS+HI, X20.....	34
Resim 30. Cisplatin+E vitamini grubu, PAS+HI, X40.....	34
Resim 31. Cisplatin+E vitamini grubu, Masson, X20.....	35
Resim 32. Cisplatin+E vitamini grubu, Masson, X40.....	35
Resim 33. Cisplatin+E vitamini grubu, PAS+HI, X40.....	36
Resim 34. Cisplatin+E vitamini grubu, PAS+HI, X40.....	36
Resim 35. Cisplatin+E vitamini grubu, Uranil asetat- Kurşun sitrat, X4000.....	37
Resim 36. Cisplatin+E vitamini grubu, Uranil asetat- Kurşun sitrat, X4000.....	37
Resim 37. Cisplatin+E vitamini grubu, Uranil asetat- Kurşun sitrat, X5000.....	38
Resim 38. Cisplatin+E vitamini grubu, Uranil asetat- Kurşun sitrat, X5000.....	39
Resim 39. Cisplatin+C vitamini grubu, H+E, X20.....	40
Resim 40. Cisplatin+C vitamini grubu, H+E, X40.....	40
Resim 41. Cisplatin+C vitamini grubu, H+E, X40.....	41
Resim 42. Cisplatin+C vitamini grubu, PAS+HI, X20.....	41
Resim 43. Cisplatin+C vitamini grubu, PAS+HI, X40.....	42
Resim 44. Cisplatin+C vitamini grubu, PAS+HI, X4.....	42
Resim 45. Cisplatin+C vitamini grubu, PAS+HI, X10.....	43
Resim 46. Cisplatin+C vitamini grubu, Masson, X4.....	43
Resim 47. Cisplatin+C vitamini grubu, Masson, X20.....	44
Resim 48. Cisplatin+C vitamini grubu, Uranil asetat- Kurşun sitrat, X4000.....	45
Resim 49. Cisplatin+C vitamini grubu, Uranil asetat- Kurşun sitrat, X10000.....	45
Resim 50. Cisplatin+C vitamini grubu, Uranil asetat- Kurşun sitrat, X5000.....	46
Resim 51. Cisplatin+C vitamini grubu, Uranil asetat- Kurşun sitrat, X2500.....	46

-
- Resim 52.** Cisplatin+C vitamini grubu, Uranil asetat- Kurşun sitrat, X4000.....47
- Resim 53.** Cisplatin+C vitamini grubu, Uranil asetat- Kurşun sitrat, X5000.....47
- Resim 54.** Cisplatin+C vitamini grubu, Uranil asetat- Kurşun sitrat, X3000.....48
- Resim 55.** Cisplatin+C vitamini grubu, Uranil asetat- Kurşun sitrat, X6000.....48



11. ÖZGEÇMİŞ

1978 yılında İstanbul'da doğdum. Orta öğrenimimi Kandilli Kız Lisesi'nde tamamladıktan sonra, 1996 yılında Trakya Üniversitesi Fen Edebiyat Fakültesi Biyoloji Bölümü'ne girdim. 2000 yılında mezun oldum ve yine 2000 yılında Trakya Üniversitesi Sağlık Bilimleri Enstitüsü Morfoloji Anabilim Dalı, Histoloji ve Embriyoloji Bilim Dalı'nda yüksek lisans eğitimime başladım. 2001 yılından bu yana, aynı bilim dalında Dekanlık araştırma görevlisi kadrosunda çalışmaktadır. Halen eğitimime devam etmekteyim.





T.C
TRAKYA ÜNİVERSİTESİ
TIP FAKULTESİ
ETİK KURUL KARARLARI

Oturum Sayısı : 02

Karar Tarihi : 28.01.2002

1- Fakültemiz Histoloji-Embriyoloji Anabilim Dalınca yapılacak olan ve Prof.Dr.Müberra UYGUN'nun yürütücüsü olduğu "Cisplatinin Oluşturduğu Böbrek Hasarlarında E ve C Vitamini Etkilerinin Işık ve Elektron Mikroskopik Düzeylerde İncelenmesi" adlı Araştırma Görevlisi Dr.Yeter TOPÇU'nun tez çalışması incelendi. Çalışmanın amaç, yaklaşım, gereç ve yöntemler açısından, etik kurallara uygun olarak hazırlanmasına ve yapılabileceğine oybirliği ile karar verildi.

Başkan

Prof.Dr.Ahmet R. KARASALİHOĞLU
Dekan

Prof.Dr.Sendoğan GÜLEN

Üye

Prof.Dr.Gültaç ÖZBAY

Üye

Prof.Dr.Aydın ALTAN

Üye